

Плівки Ленгмюра-Блоджетт. Нанотрубки та їх властивості.

Самозборка.

Самозборка – це процес адсорбції та специфічного розташування молекул на твердій поверхні. Його рушійною силою є хемосорбція, яка проявляється в високоенергетичних реакціях між адсорбантом та адсорбуючою поверхнею.

Розділяють 3 основні функціональні групи – прикріплюючі, проміжні, функціональні.

Прикріплюючі: $RSiX_3$ [($R = CH_3, C_2H_5, \dots$), ($X = CH_3, CH_2-OH, Cl, \dots$)]

Tiol (RSH)

Проміжні: CH_2, C_2H_4, C_3H_6

Поверхневі функціональні: NH_2, F, Cl, J

Технологія створення нанорисунку

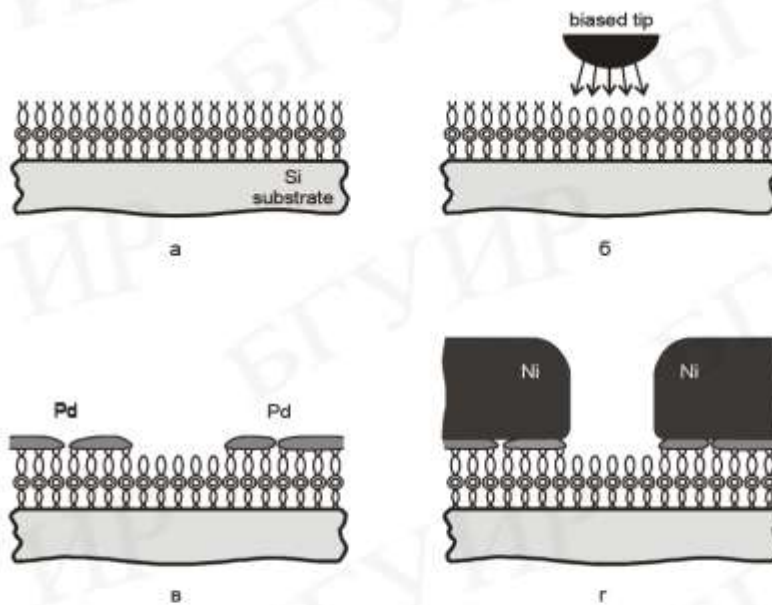
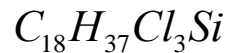


Рис. 4.1. Формирование наноразмерного рисунка с использованием самоупорядочивающейся мономолекулярной пленки [1]:
а – осаждение мономолекулярного слоя; б – создание рисунка зондом сканирующего туннельного микроскопа; в – осаждение палладиевого катализатора; г – осаждение никеля

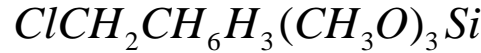
Октадецилтрихлоросилан



Фенетилtrimетоксисилан



Хлорметилфенилtrimетоксисилан



Хлорметилфенетилtrimетоксисилан



Плівки Ленгмюра-Блоджетт



Термин пленки Лэнгмюра–Блоджетт (LB-пленки) обозначает моно- или многослойные пленки, перенесенные с границы раздела вода–воздух (в общем случае жидкость–воздух) на твердую подложку. По своим движущим силам процесс формирования таких пленок подчиняется закономерностям самосборки. Молекулярная пленка на границе раздела вода–воздух называется Лэнгмюровской пленкой.

Первые систематические исследования монослоев из амфифильных молекул на границе раздела вода – воздух были выполнены Лэнгмюром в 1917 году. Итогом исследований мономолекулярных (толщиной в одну молекулу) слоев на поверхности жидкости стало присуждение Лэнгмюру в 1932 году Нобелевской премии по химии.



Первое исследование по осаждению многослойной пленки из длинных цепочек карбоновой кислоты на твердую подложку было проведено Кэтрин Бэрр Блоджетт в 1935 году. Метод физического осаждения LB-пленок при погружении (или подъеме) в жидкость, на поверхности которой находится органическая пленка, называется LB-осаждением. Ею же было изготовлено «невидимое стекло» имеющее пленку из 44 слоев стеарата бария.

Головна ідея методу LB

Вещества, монослои которых переносятся LB-технологией и взаимодействуют с водой (растворяются в воде), смачиваются или набухают, называются гидрофильными.

Вещества, которые не взаимодействуют с водой (не растворяются), не смачиваются и не набухают, называются гидрофобными.

Молекулы амфифильных веществ, используемых в LB-технологии, имеют особую структуру: один конец молекулы является гидрофильным и поэтому оказывается предпочтительно погруженным в воду, а другой конец является гидрофобным и поэтому предпочтительно находится в воздухе (или в неполярном растворителе).

Классический пример амфифильного вещества – стеариновая кислота ($C_{17}H_{35}CO_2H$), в которой длинный гидрокарбонатный –хвост ($C_{17}H_{35}-$) является гидрофобным, а основная (головная) карбоксильная группа ($-CO_2H$) является гидрофильной.

Так как амфифили имеют один гидрофильный конец, а другой конец гидрофобный, то они предпочитают располагаться на границах раздела, таких как воздух-вода или масло-вода, т.е. ведет себя подобно типичным поверхностно-активным веществам.

Отримання багатошарових плівок

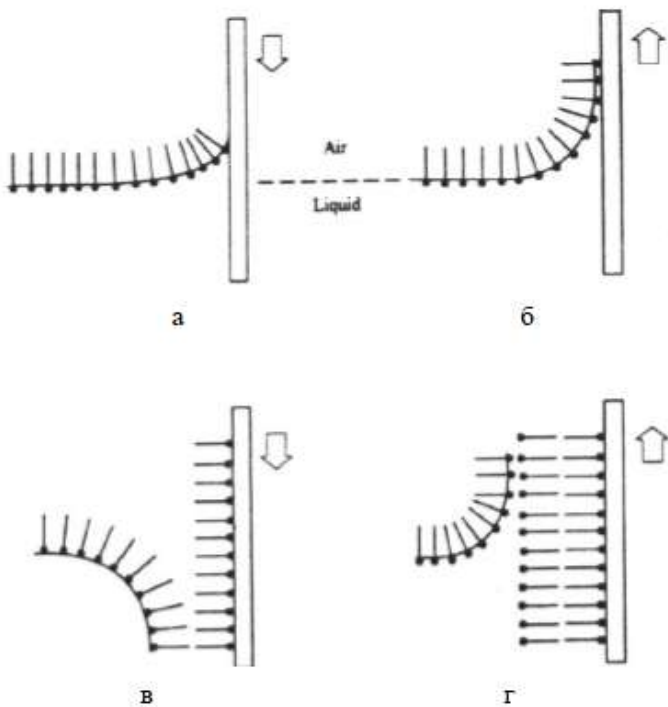


Рис. 8.31. Схема формування мно-
гослойних пленок LB-технологією [1]
а – первое погружение; б – первый подъем;
в – второе погружение; г – второй подъем

Если процесс осаждения начинается с гидрофильной подложки, она становится гидрофобной после осаждения первого монослоя, и таким образом второй моносвой будет перенесен при погружении.

Этот вариант является наиболее общим способом формирования многослойных пленок для амфи菲尔ных молекул, в которых головные части являются сильно гидрофильными ($-COOH$, $-PO_3H_2$ и др.), а хвостовые части представляют собой алкильные цепочки.

Можливі комбінації шарів

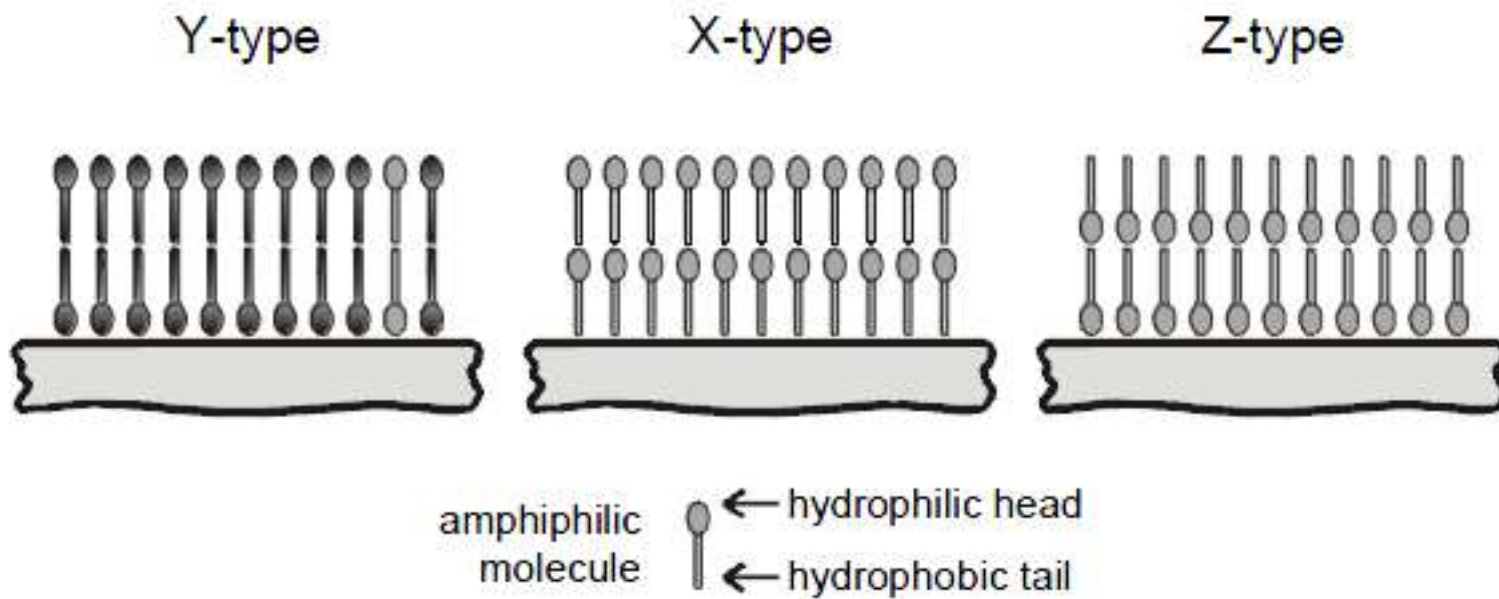


Рис. 8.32. Схематическое изображение пленок Y-, X- и Z-типа [1]

Традиційна установка для нанесення плівок LB

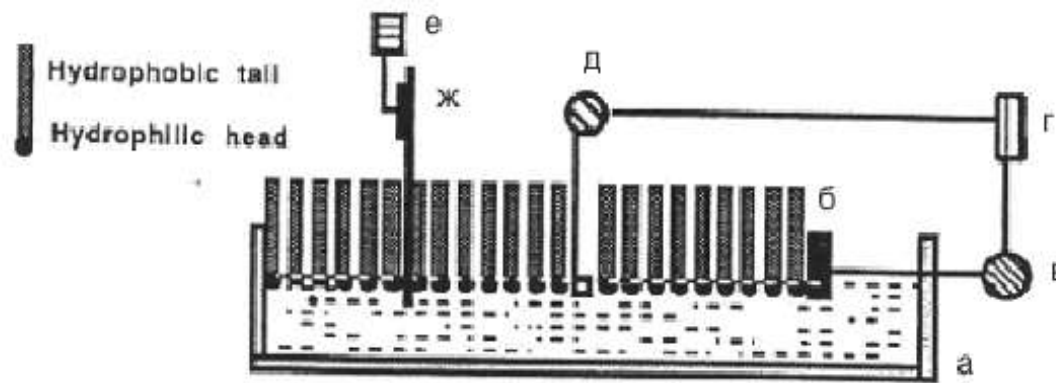


Рис. 8.33. Схема устройства для осаждения пленок Лэнгмюра–Блоджетт [1]

На рисунку представлена схема устройства для осаждения LB-пленок. На этой схеме: а – ванна, обычно изготавливаемая из тефлона; б – движущийся барьер, позволяющий оказывать контролируемое давление на монослой; в -мотор, который двигает барьер; г – измерительный прибор, позволяющий контролировать давление на поверхности воды; д – балансирующее устройство; е – мотор с редуктором (коробкой скоростей); ж – твердая подложка. Были разработаны и другие установки с двумя и более ваннами для осаждения.

Метод Ленгмюра-Шайфера

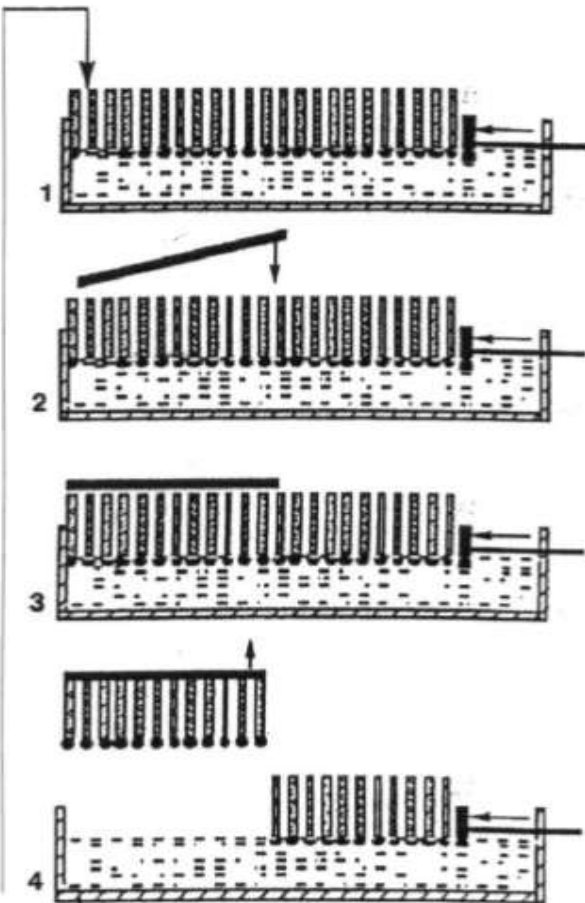


Рис. 8.34. Формирование пленок методом Лэнгмюра–Шайфера

Другой метод создания LB-многослойных структур – горизонтальный метод подъема, который был разработан Лэнгмюром и Шайфером в 1938 году. Метод Шайфера полезен для осаждения очень твердых (жестких) пленок. В этом методе сначала формируется сжатый монослой на границе раздела вода–воздух (1, рис. 8.34). Затем плоская подложка располагается горизонтально на пленку монослоя (2, 3, рис. 8.34). Когда эта подложка поднимается вверх и отделяется от поверхности воды, монослой переносится на подложку (4, рис. 8.34), сохраняя, теоретически, такое же направление молекул (X-тип).

Вуглець – основа життя та сировина для нанотехнологій

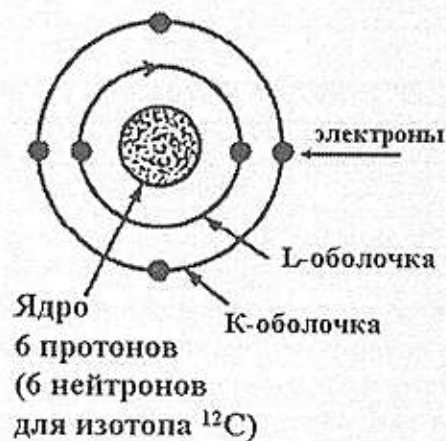


Рис. 3.3. Схематическое изображение электронной структуры атома углерода в основном состоянии

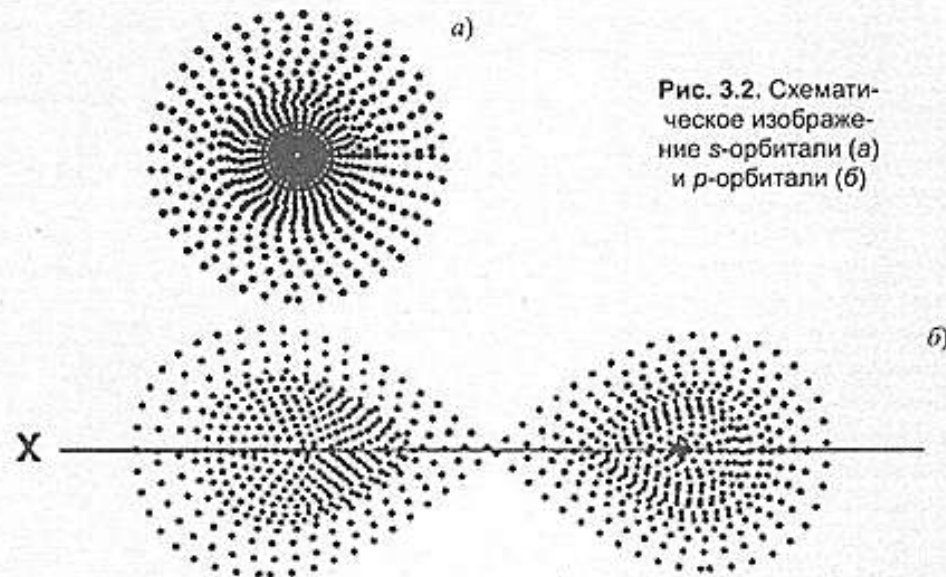


Рис. 3.2. Схематическое изображение s-орбитали (а) и p-орбитали (б)

Гібридизація SP^3

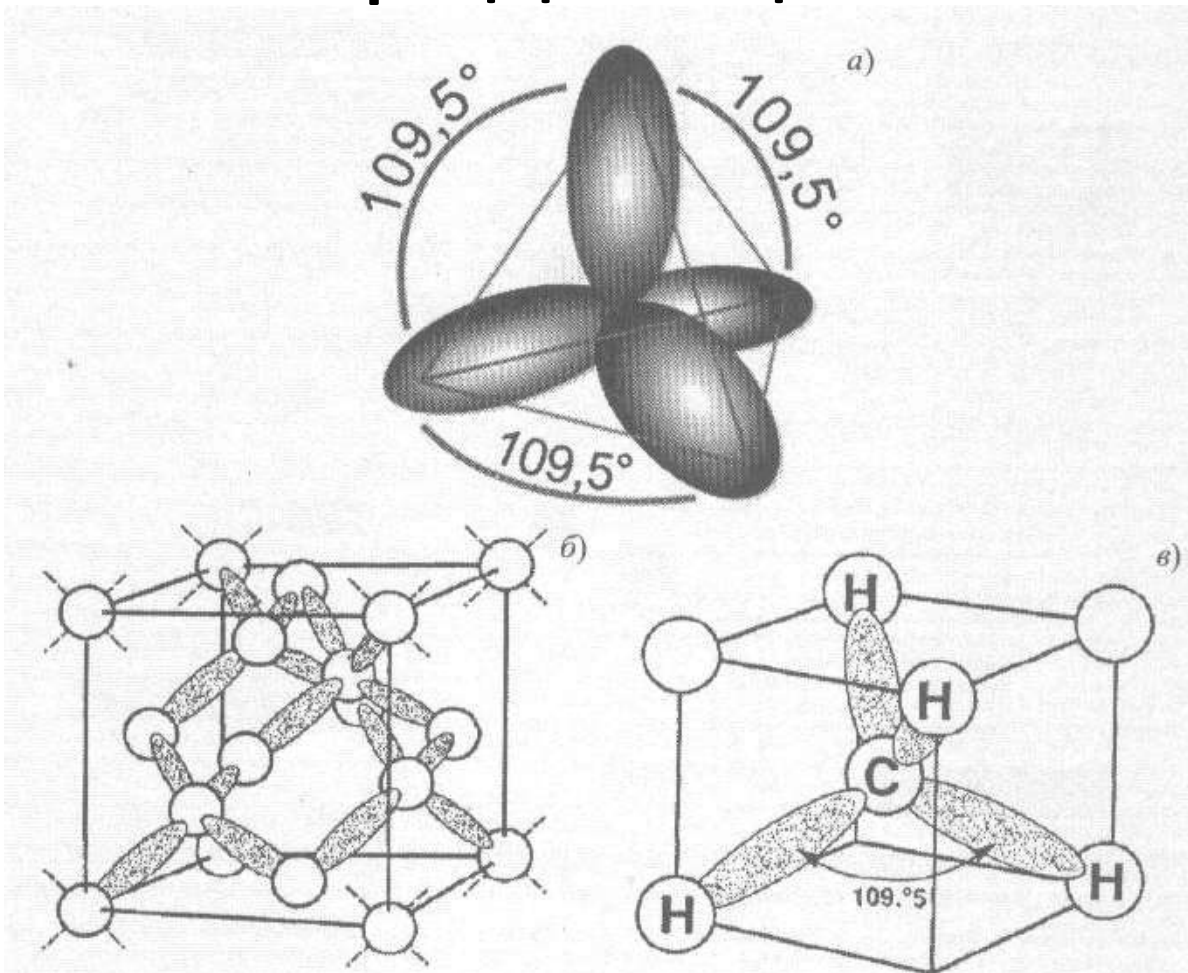


Рис. 3.5. (а) Тетраэдрическая конфигурация четырёх sp^3 гибридных орбиталей атома углерода. (б) Тетраэдрическая конфигурация четырёх σ -связей углерод–углерод в кристалле алмаза. (в) Тетраэдрическая конфигурация четырёх одинарных C–H связей в молекуле метана (CH_4)

Гібридизація SP^2

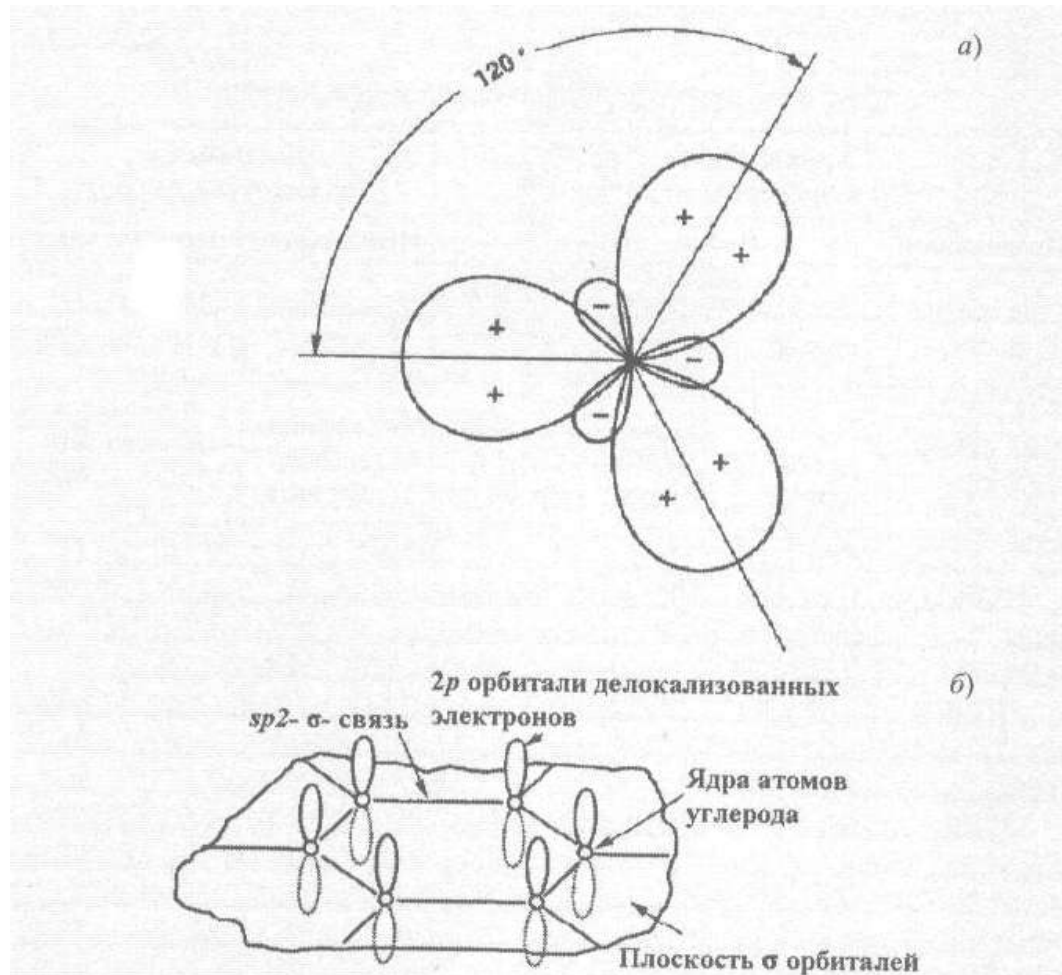


Рис. 3.6. (а) Схематичне зображення трьох sp^2 гібридних орбіталь атома углерода, розташованих в одній площині. (б) Схематичне зображення sp^2 гібридної структури графіту: σ -связі в площині графена, і 2p орбіталі делокалізованих електронів перпендикулярні цій площині

Гібридизація SP^1

Алкени, Карбіни

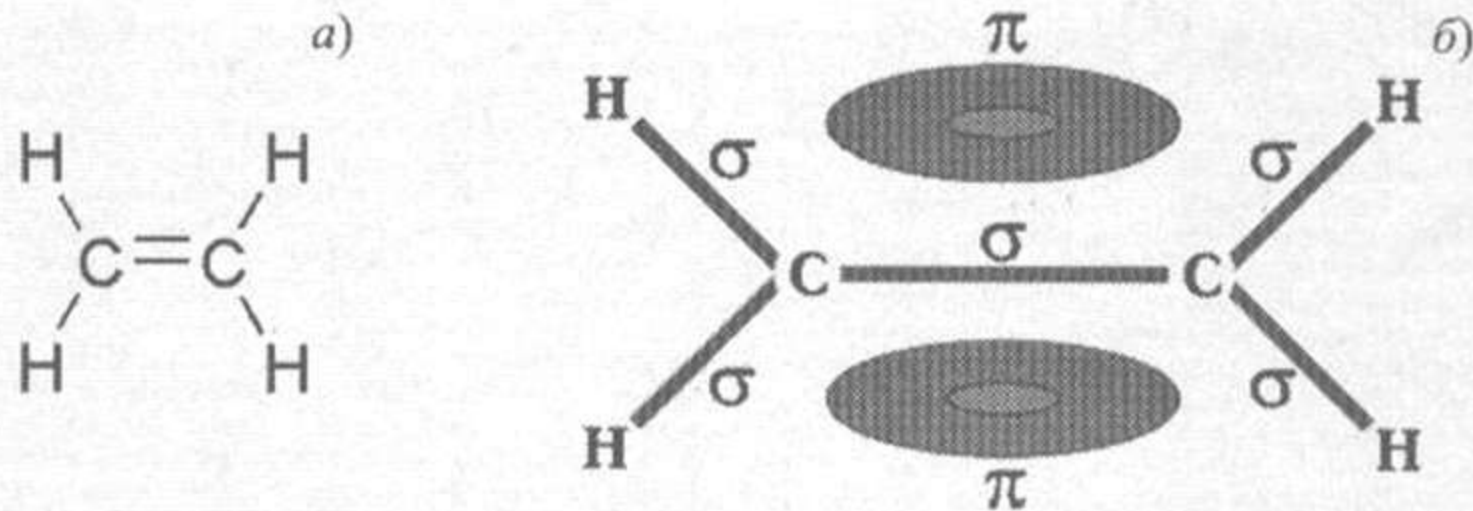


Рис. 3.13. Молекула этилена. (а) Развёрнутая графическая формула. (б) Система σ - и π -связей

Бензоли

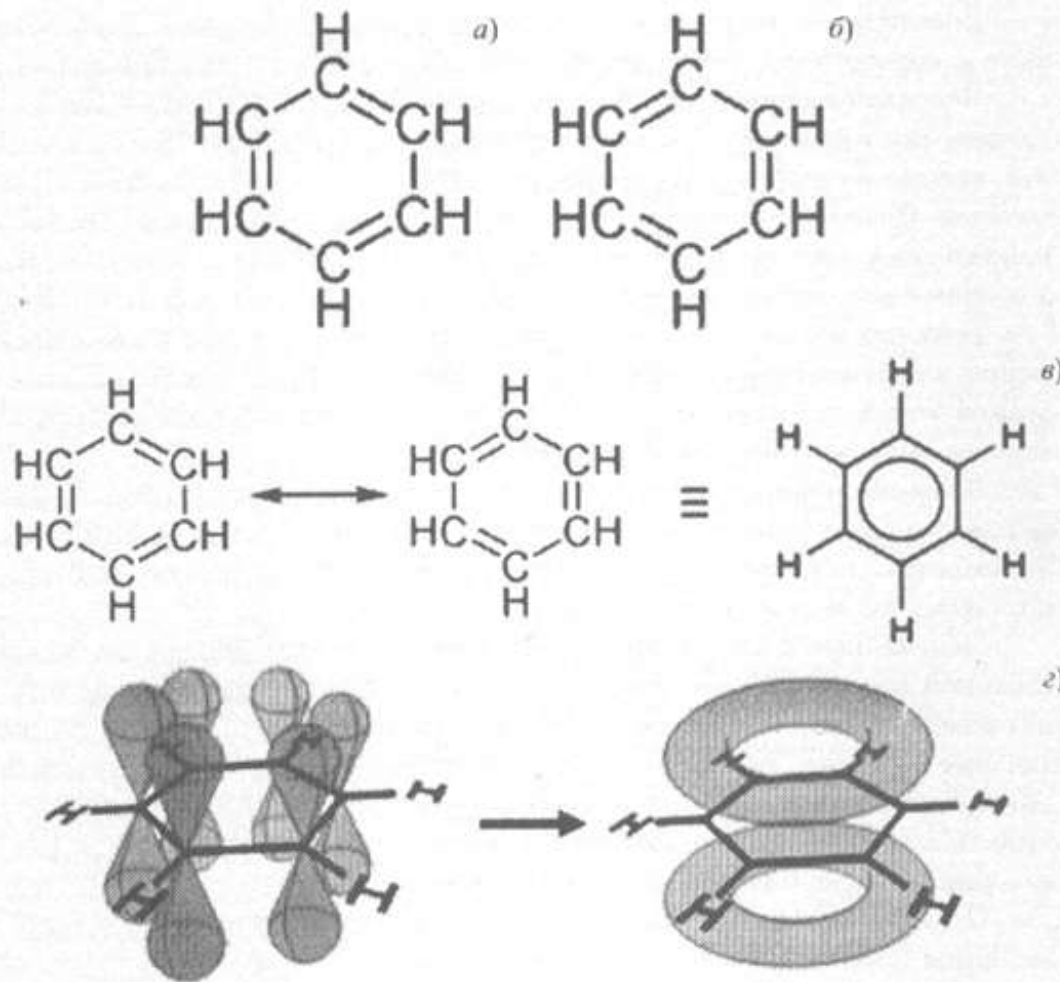


Рис. 3.9. Молекула бензола. (а–б) Развёрнутые графические формулы двух изомеров бензола (две из пяти идеальных форм Кекуле—Дьюара). (в) В современной химической литературе π-систему делокализованных электронов обозначают кружком. (г) Система σ-связей и π-связей в молекуле бензола

Бджолині соти

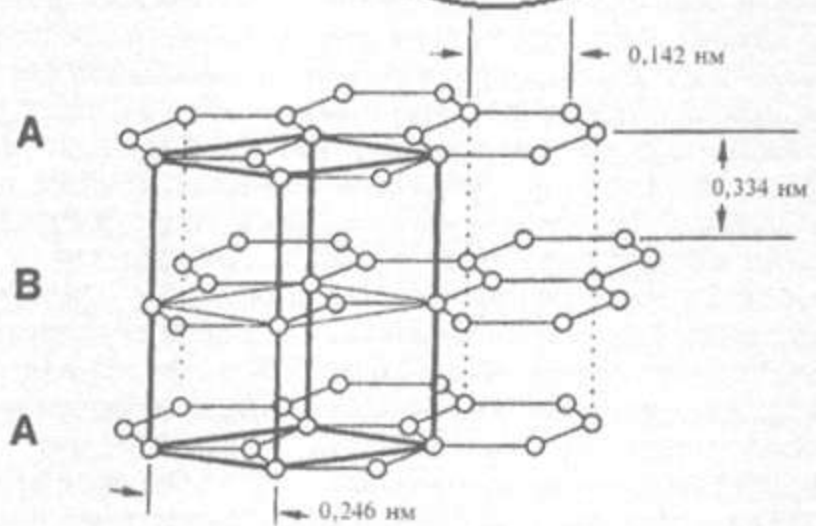
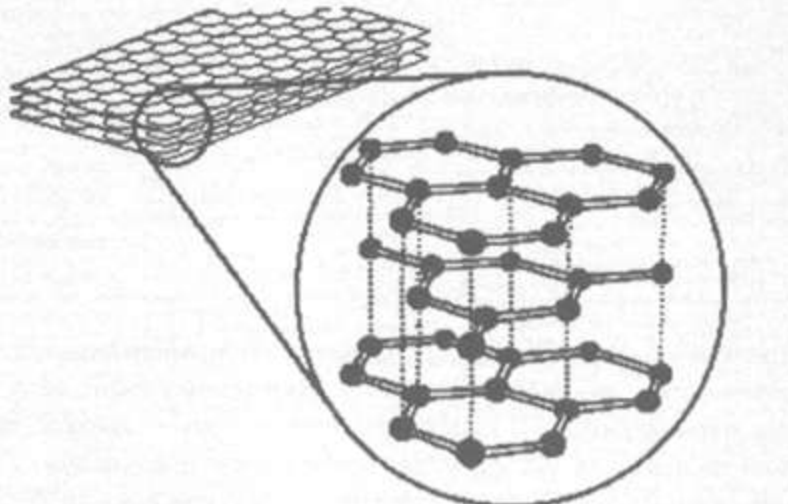


Рис. 3.7. Кристаллическая структура графита

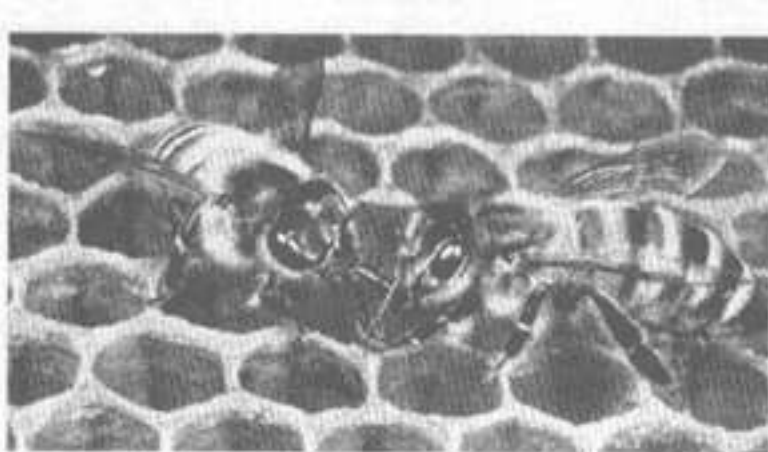


Рис. 3.8. Пчелиные соты — одна из самых совершенных конструкций на нашей планете

Арени

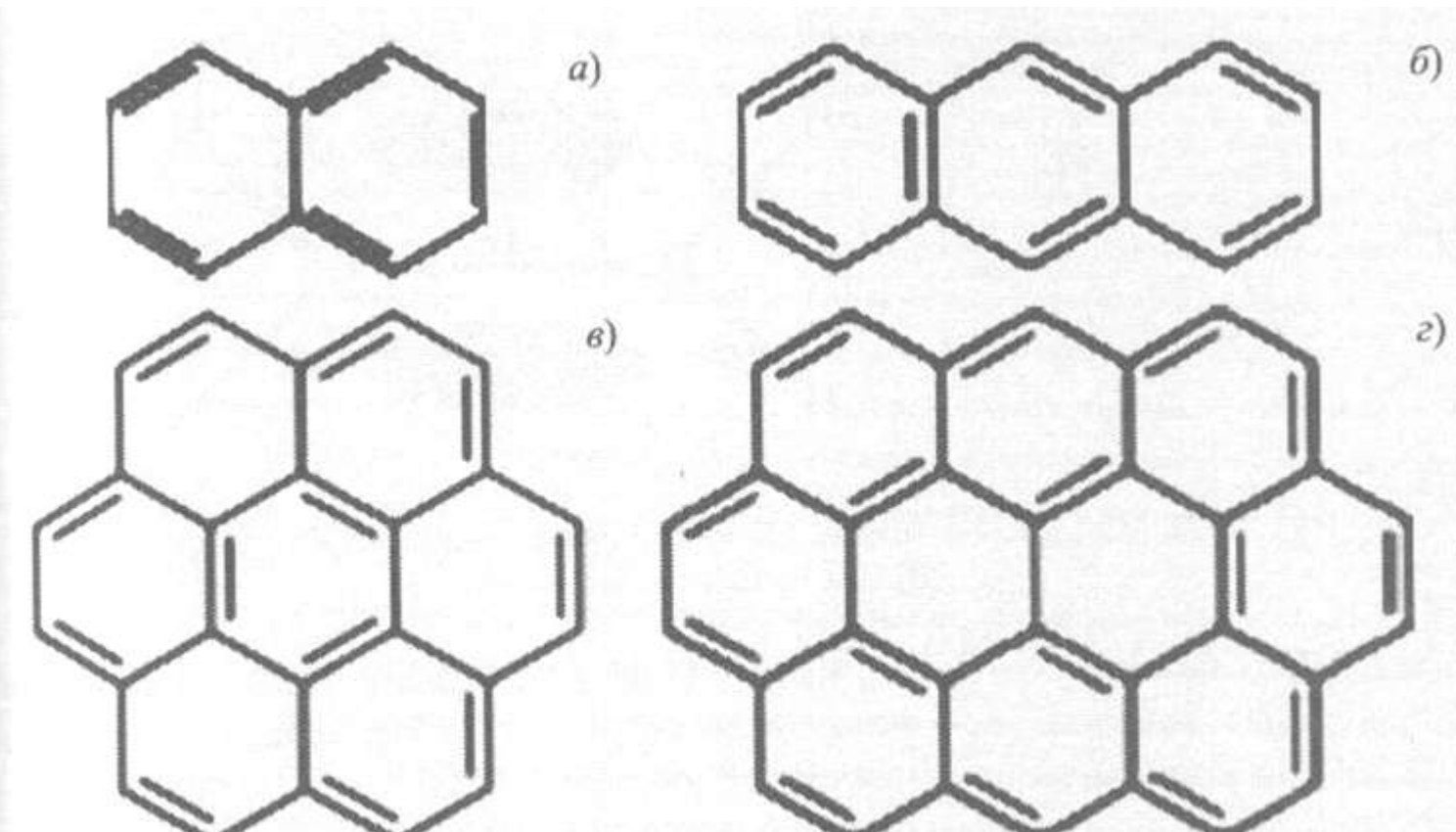


Рис. 3.11. Краткие графические формулы некоторых аренов. Вершинами шестиугольников обозначены пары С-Н. (а) нафталин, (б) антрацен, (в) коронен, (г) овален

$(4n + 2)$ π електрони Бензол C_6H_6 ($n=1$) Нафталін $C_{10}H_8$ ($n=2$) Антрацен $C_{14}H_{10}$ ($n=3$)

Молекули BUCKY-BOWL

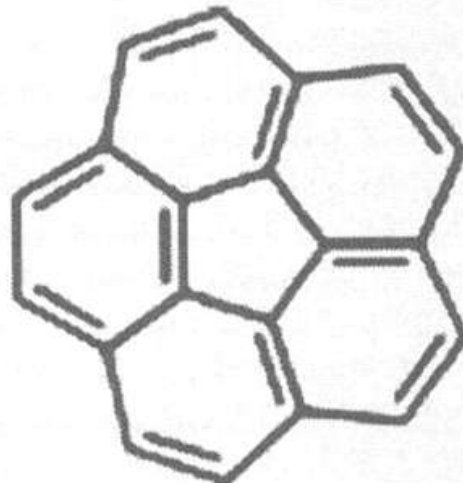
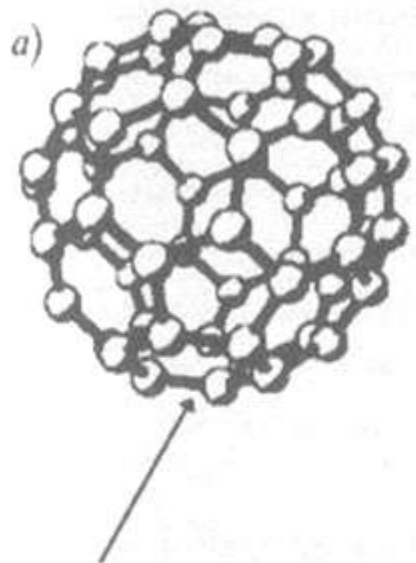


Рис. 3.12. Краткая графическая формула кораннулена, $C_{20}H_{10}$

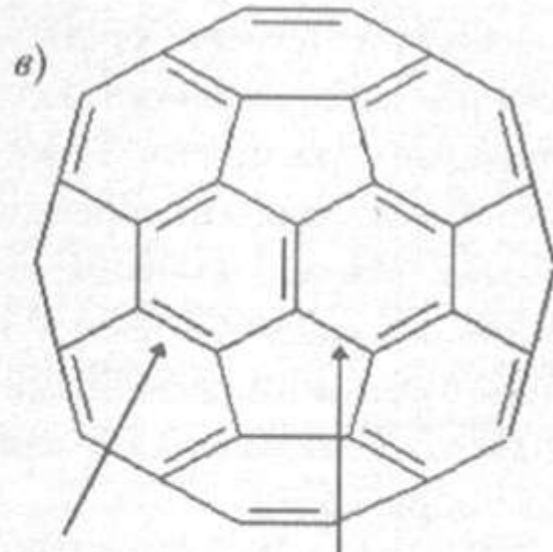
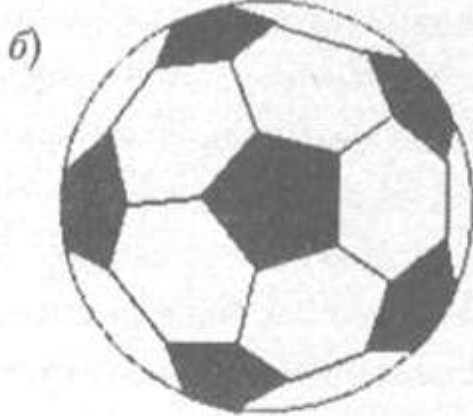


Барт і Лоутон синтезували кораннулен в 1966 р.
А в 1970 році Ейдзи Осава передбачив стабільність
молекули C_{60}

Молекули BUCKY-BALL



Один из 60-ти атомов
углерода



двойная связь (C=C)
одинарная связь (C-C)

Рис. 4.1. Молекула C₆₀ (а) и футбольный мяч (б) в форме усечённого икосаэдра; (в) химические связи между атомами углерода в молекуле C₆₀

Відкриття фулерену C₆₀ (1985 р.)

Гарольд Крото – англійський відомий вчений в області мікрохвильової спектроскопії та радіоастрономії (працював в університеті Сассекс, Англія)

Річард Смолі – американський вчений в області плазменних методів формування кластерів тугоплавких металів (університет Райса в Хьюстоні)

Роберт Кёрл – американський вчений (університет Райса в Хьюстоні), який вивчав формування кластерів напівпровідників.

Метод Річарда Смолі

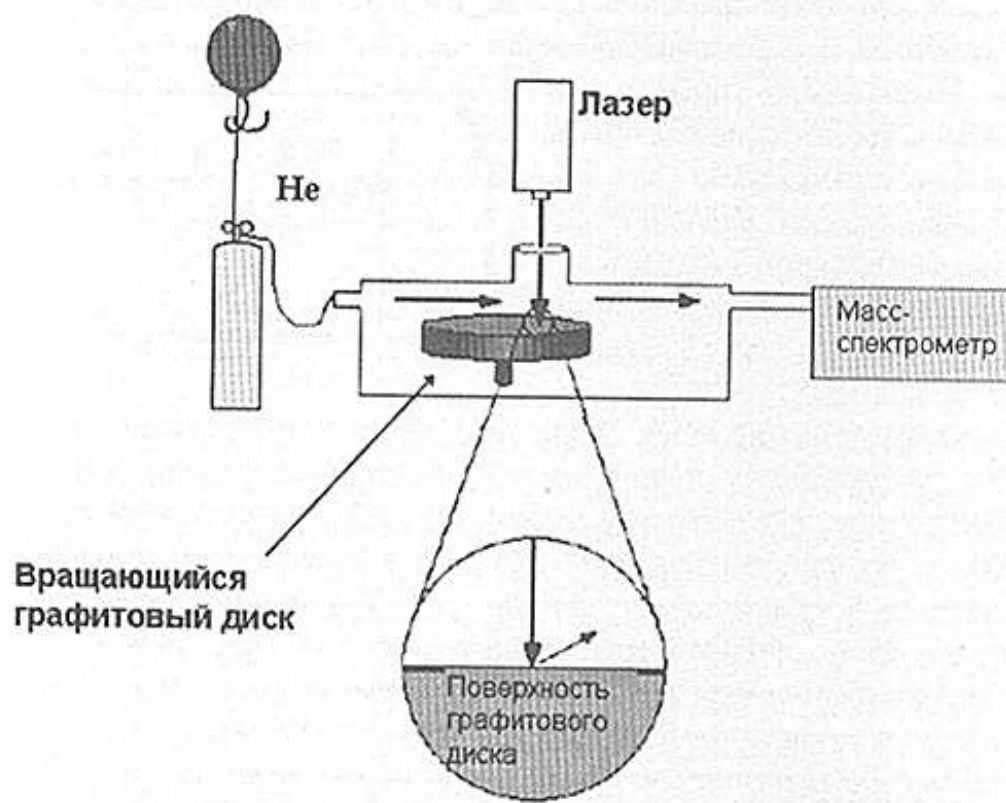


Рис. 8.2. Источник для получения кластерных пучков тугоплавких элементов методом лазерного испарения [21]. В углеродных экспериментах использовалась мишень в виде медленно вращающегося графитового диска, что обеспечивало высокое качество облучаемой поверхности. Импульс испаряющего лазерного излучения с длиной волны 532 нм, длительностью 5 нс и энергией 30–40 мДж фокусируется на поверхность графита. Импульсное сопло пропускает гелий через эту зону испарения

Результаты спостережень

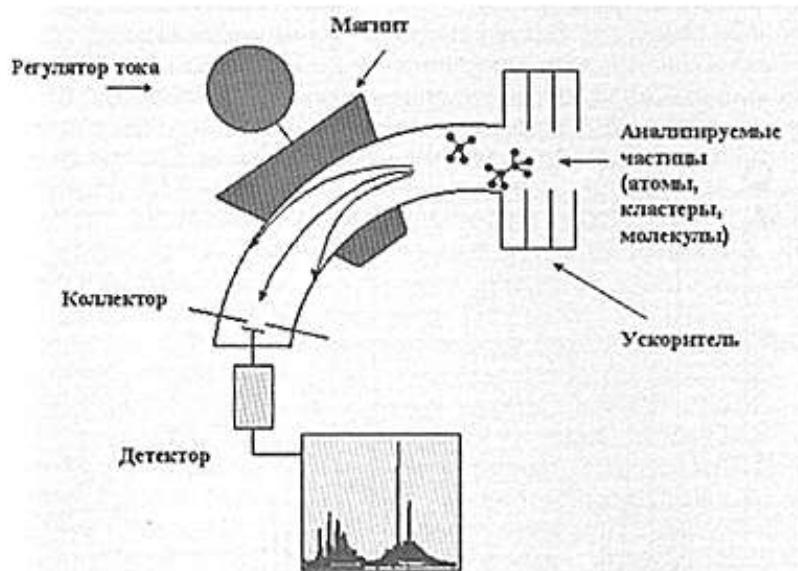


Рис. 8.3. Принципиальная схема масс-спектрометра

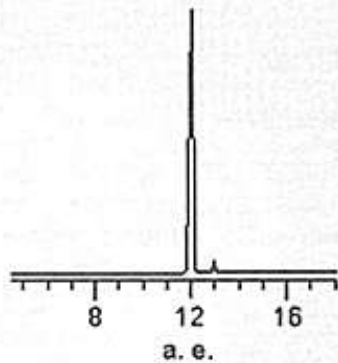


Рис. 8.4. Масс-спектр атомов углерода

Фуллереновый ряд

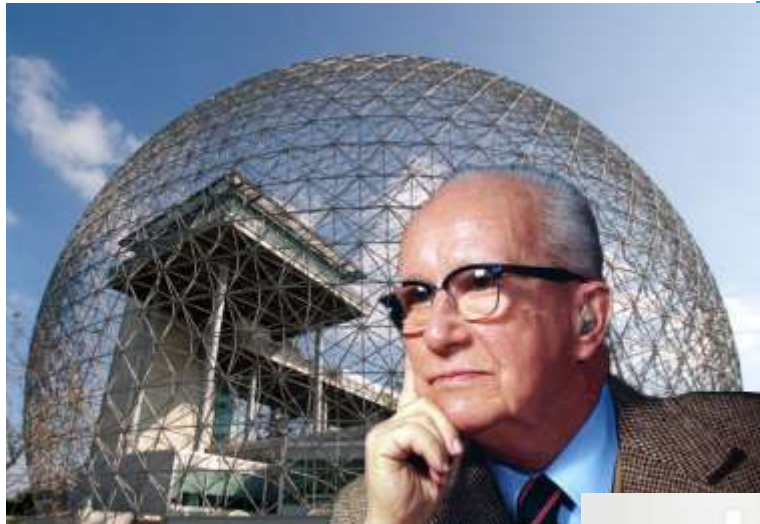
Таблица 12.1

Возможные (с топологической точки зрения) молекулы икосаэдральных фуллеренов: их группы симметрии и диаметры d [26]

Молекула C_n	Группа симметрии	$d, \text{\AA}$
C_{20}	I_h	3,97
C_{60}	I_h	6,88
C_{80}	I_h	7,94
C_{140}	I	10,50
C_{180}	I_h	11,91
C_{240}	I_h	13,75
C_{260}	I	14,31
C_{320}	I_h	15,88
C_{380}	I	17,30
C_{420}	I	18,19
C_{500}	I_h	19,85
C_{540}	I_h	20,63
C_{560}	I	21,00
C_{620}	I	22,10
C_{720}	I_h	23,82
C_{740}	I	24,15
C_{780}	I	24,79
C_{860}	I	26,03
C_{960}	I_h	27,50
C_{980}	I_h	27,79
C_{980}	I	27,79
...

Бакмінстер Фулер

Buckminster Fuller was a world-renowned architect, math-obsessed designer, and affable weirdo. He died in 1983, but Fuller is still remembered fondly today for his geodesic domes and his three-wheeled cars. Despite extensive historical interest in the man, his FBI file has never been made public. Until now.



Різновиди невеликих молекул фуллеренів

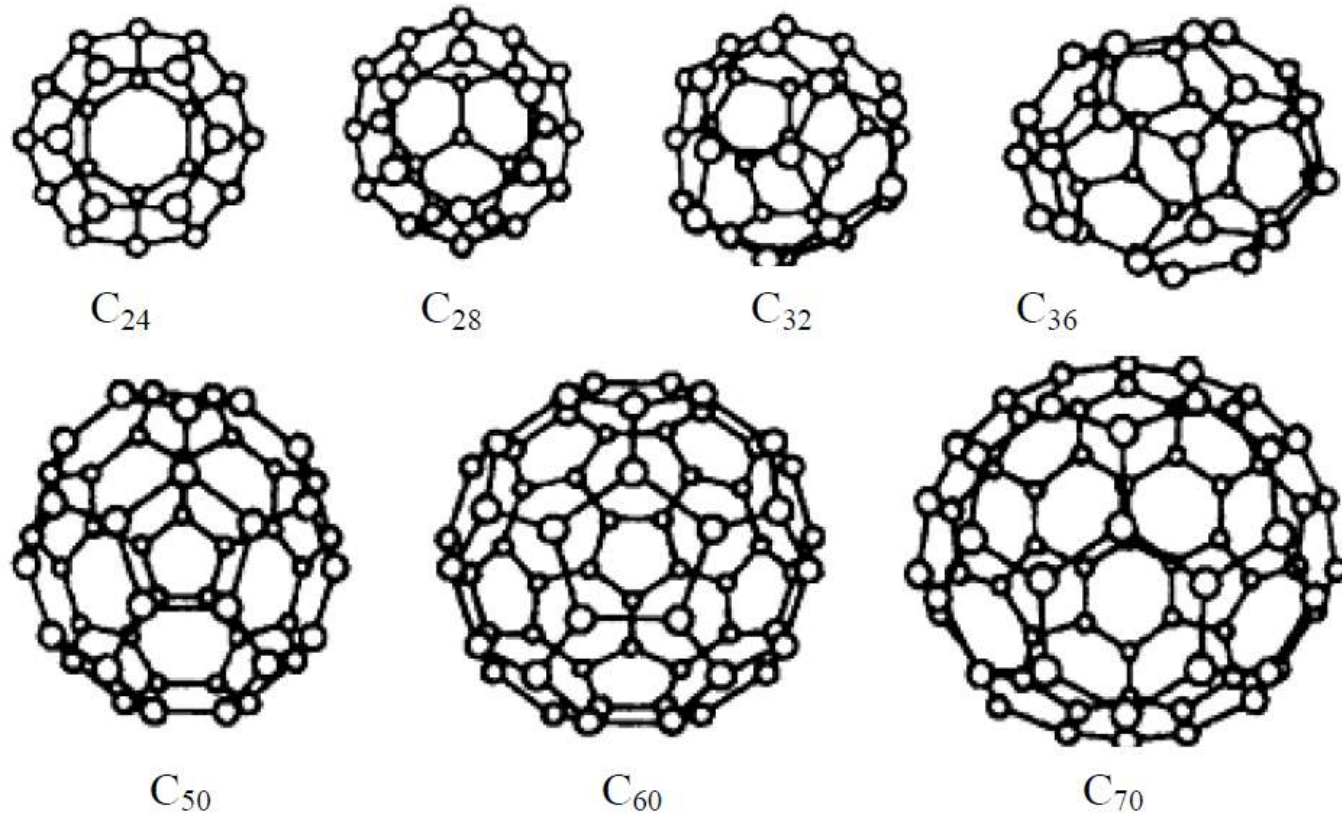


Рис. 5.6. **Разновидности фуллеренов**

Гігантскі молекули фулеренів

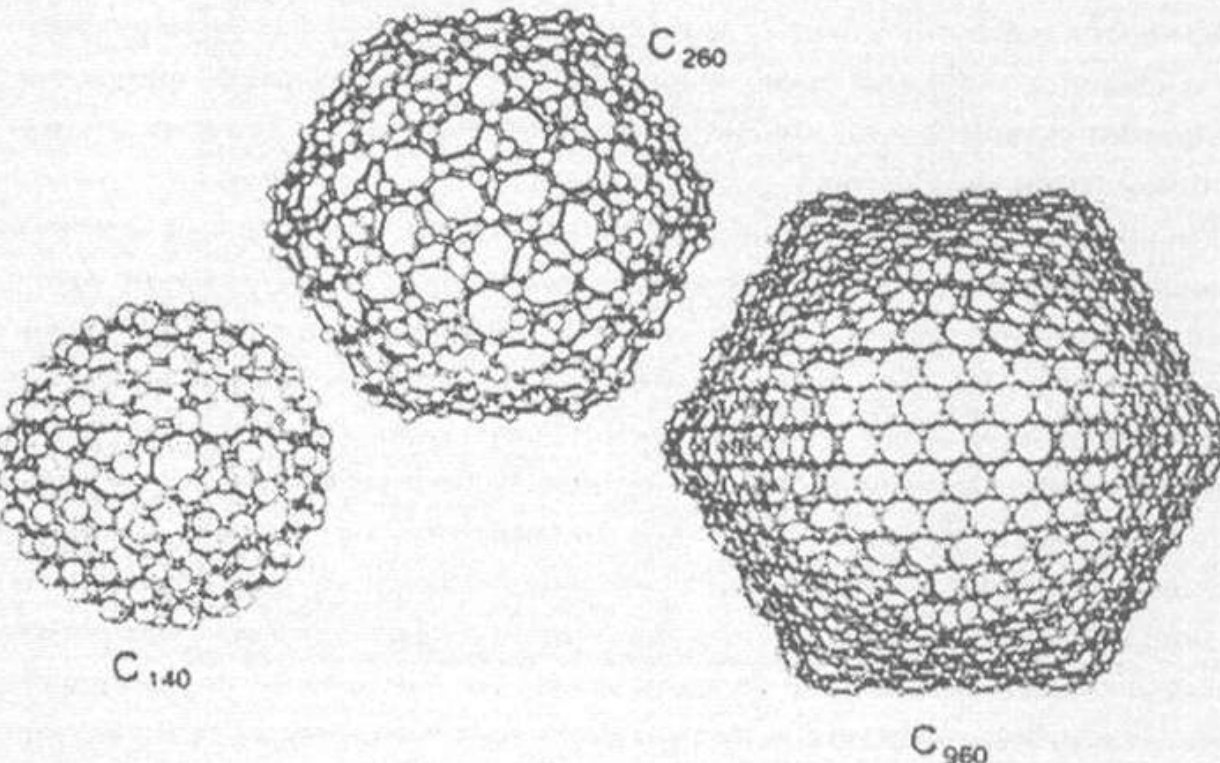


Рис. 12.11. Примеры гигантских фуллеренов с икосаэдральной симметрией: C_{140} , C_{260} , C_{960}

C_{70}

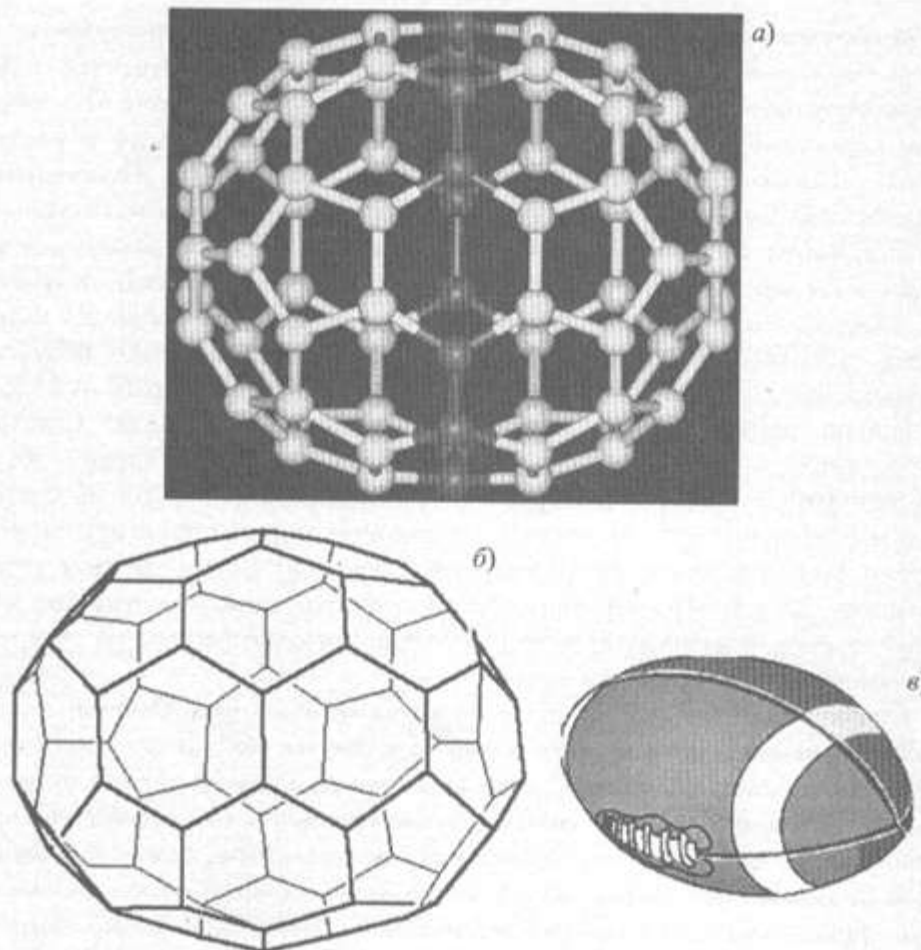


Рис. 12.10. Структура молекулы C_{70} : две полусфера C_{30} разделяются кольцом из десяти дополнительных атомов (а), составляя многогранник с 12 пятиугольными и 25 шестиугольными гранями (б). Из-за вытянутой, близкой к эллипсоиду, формы молекулы C_{70} она получила название «регбибол» (в)

Перерізи молекули C₆₀

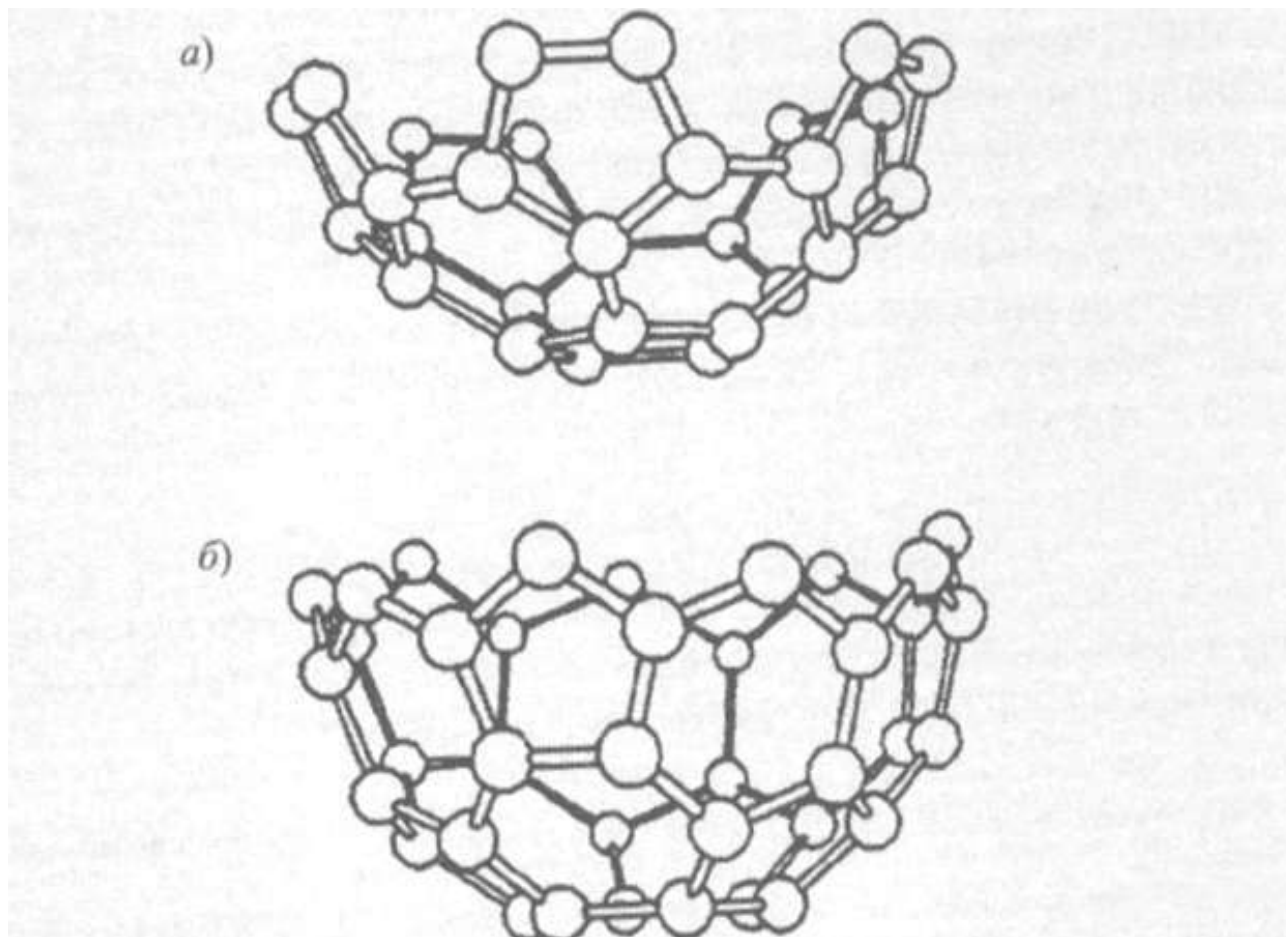
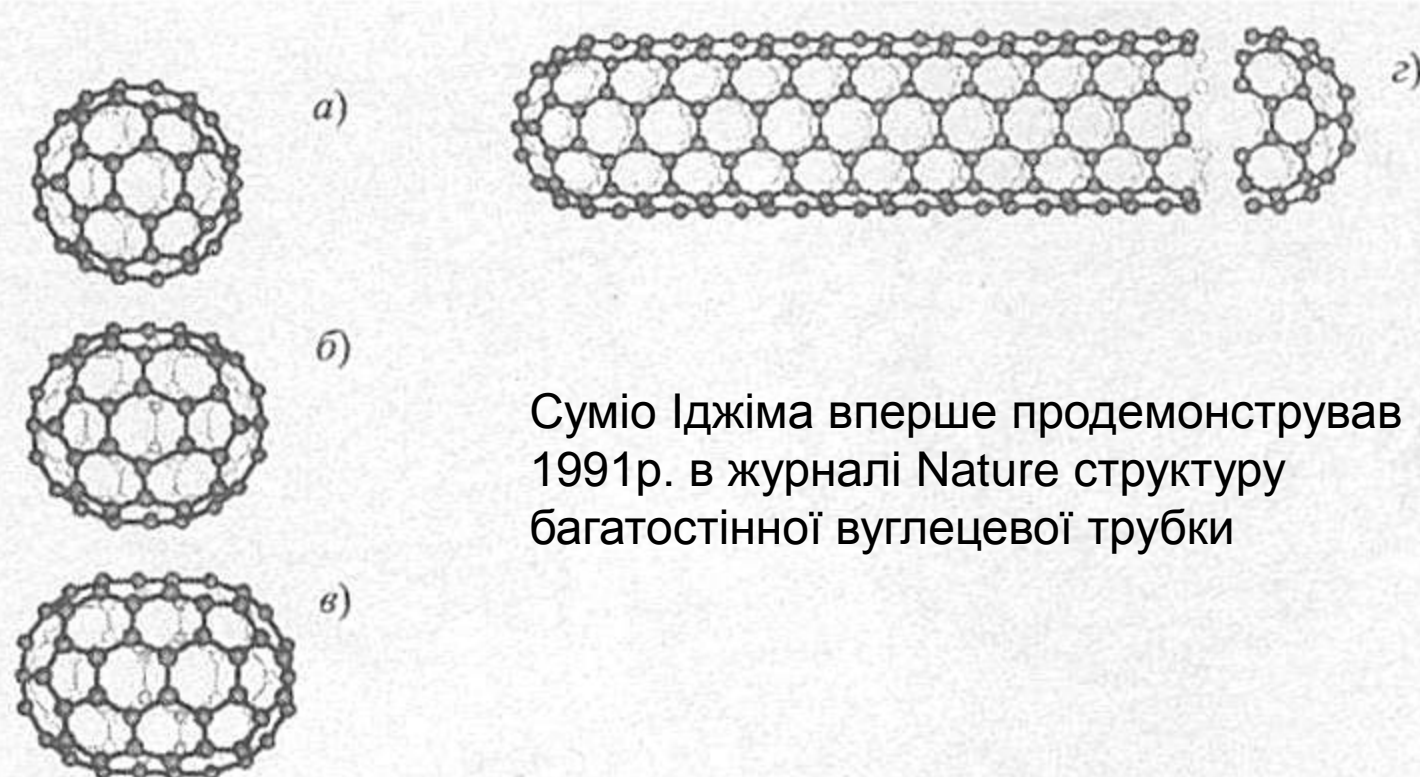


Рис. 14.5. Зубчатые (armchair) (а) и зигзагообразные (zigzag) (б)
срезы фуллерена C₆₀

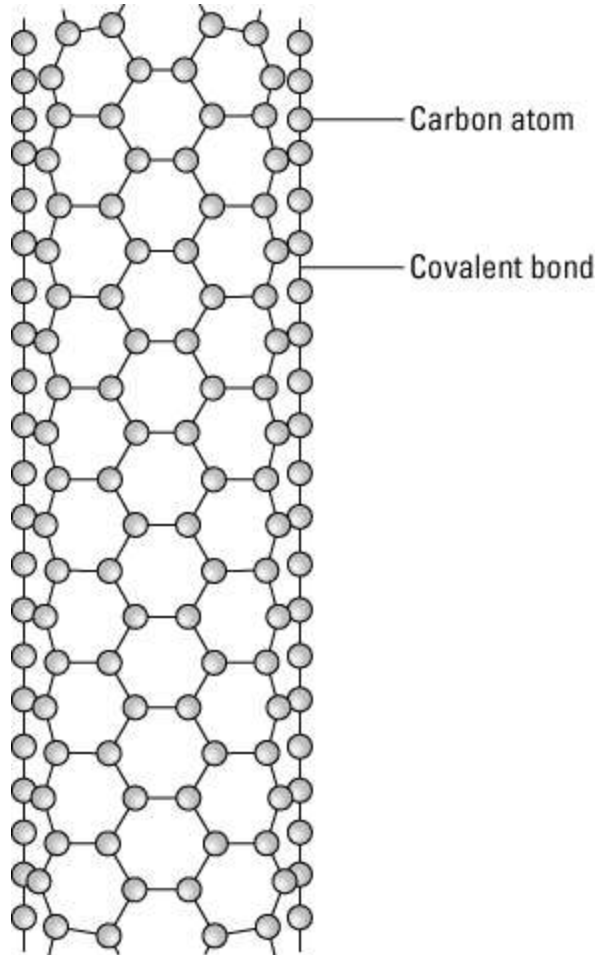
Відкриття вуглецевих нанотрубок



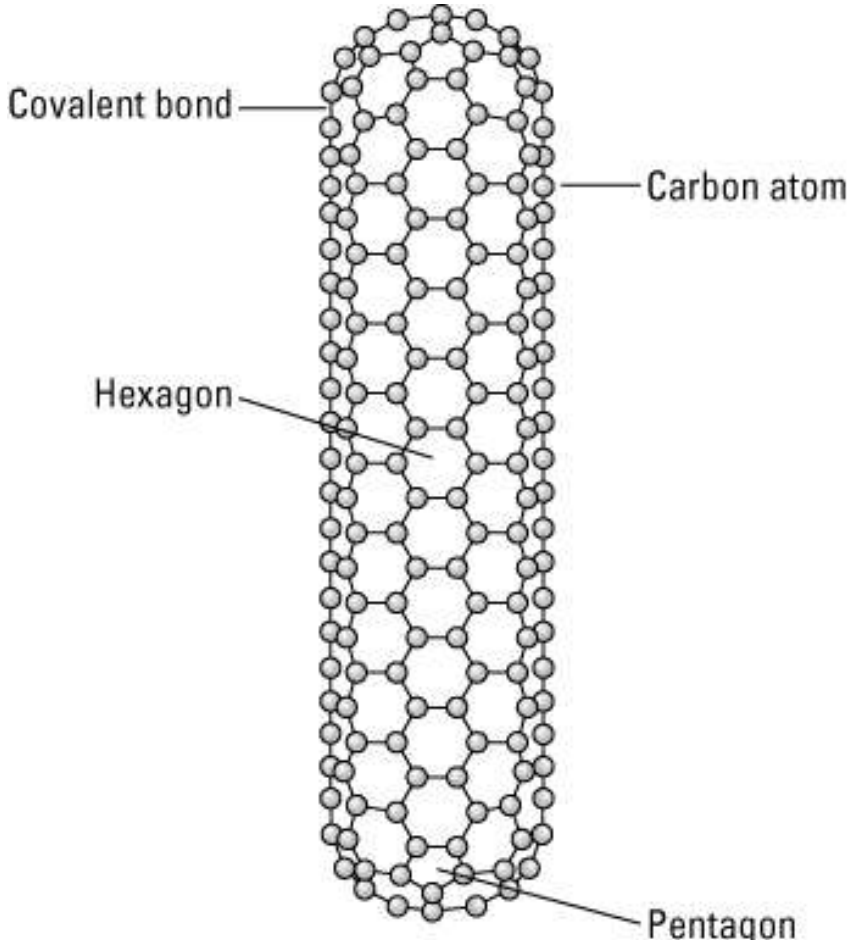
Суміо Іджіма вперше продемонстрував в 1991р. в журналі *Nature* структуру багатостінної вуглецевої трубки

Рис. 12.13. Превращение бакминстерфуллерена в углеродную нанотрубку с помощью последовательного добавления экваториальных колец из десяти атомов углерода: (а) C₆₀, (б) C₇₀, (в) C₈₀, (г) углеродная нанотрубка C₁₀₀₀₀₀₀

Одностінні вуглецеві нанотрубки (СНТ)



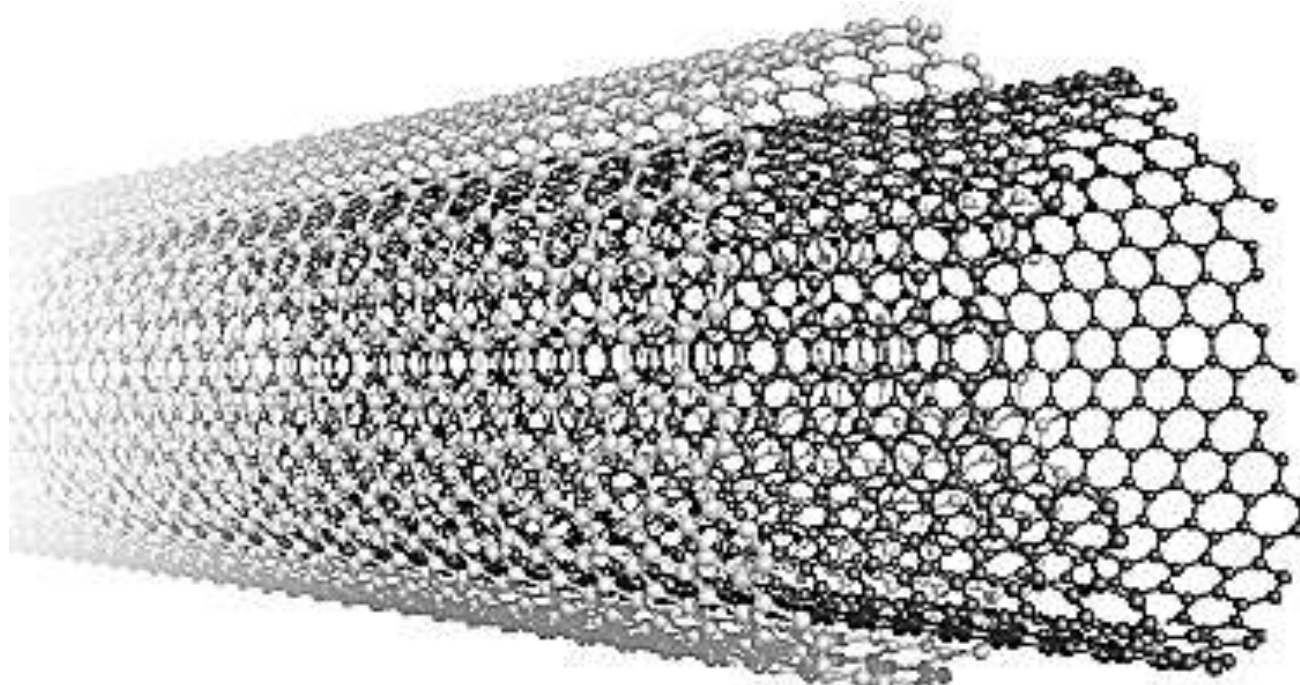
Циліндрична нанотрубка з
відкритими кінцями



Циліндрична нанотрубка з
закритими кінцями

Одностінні та багатостінні CNT

Carbon nanotubes can occur as multiple concentric cylinders of carbon atoms, called multi-walled carbon nanotubes (MWCTs) and shown in the following figure. Logically enough, carbon nanotubes that have only one cylinder are called single-walled carbon nanotubes (SWCTs). Both MWCT and SWCT are used to strengthen composite materials.



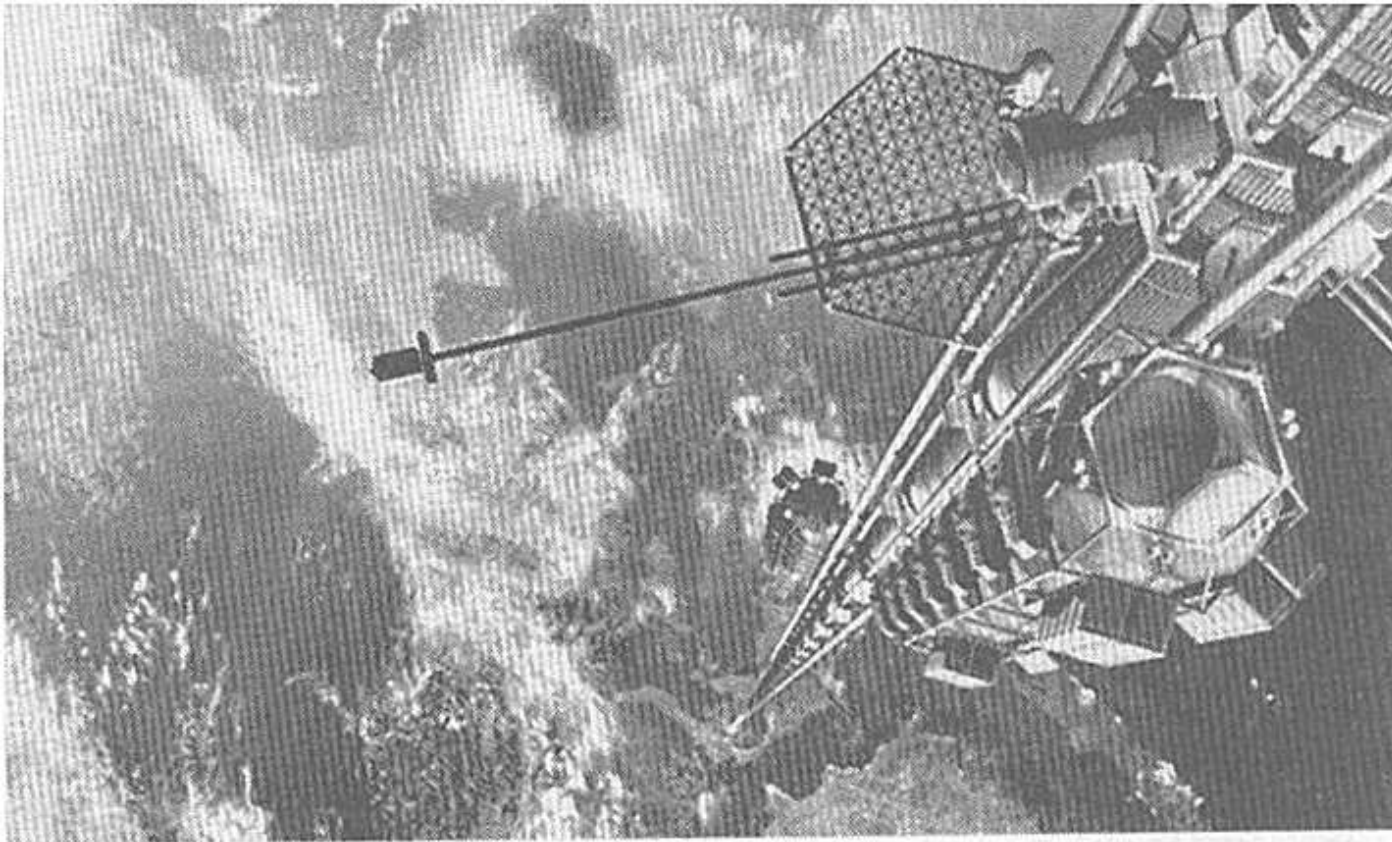
Отримання та промислове застосування нанотрубок сьогодні



Волокна, нитки, кабелі з нанотрубок

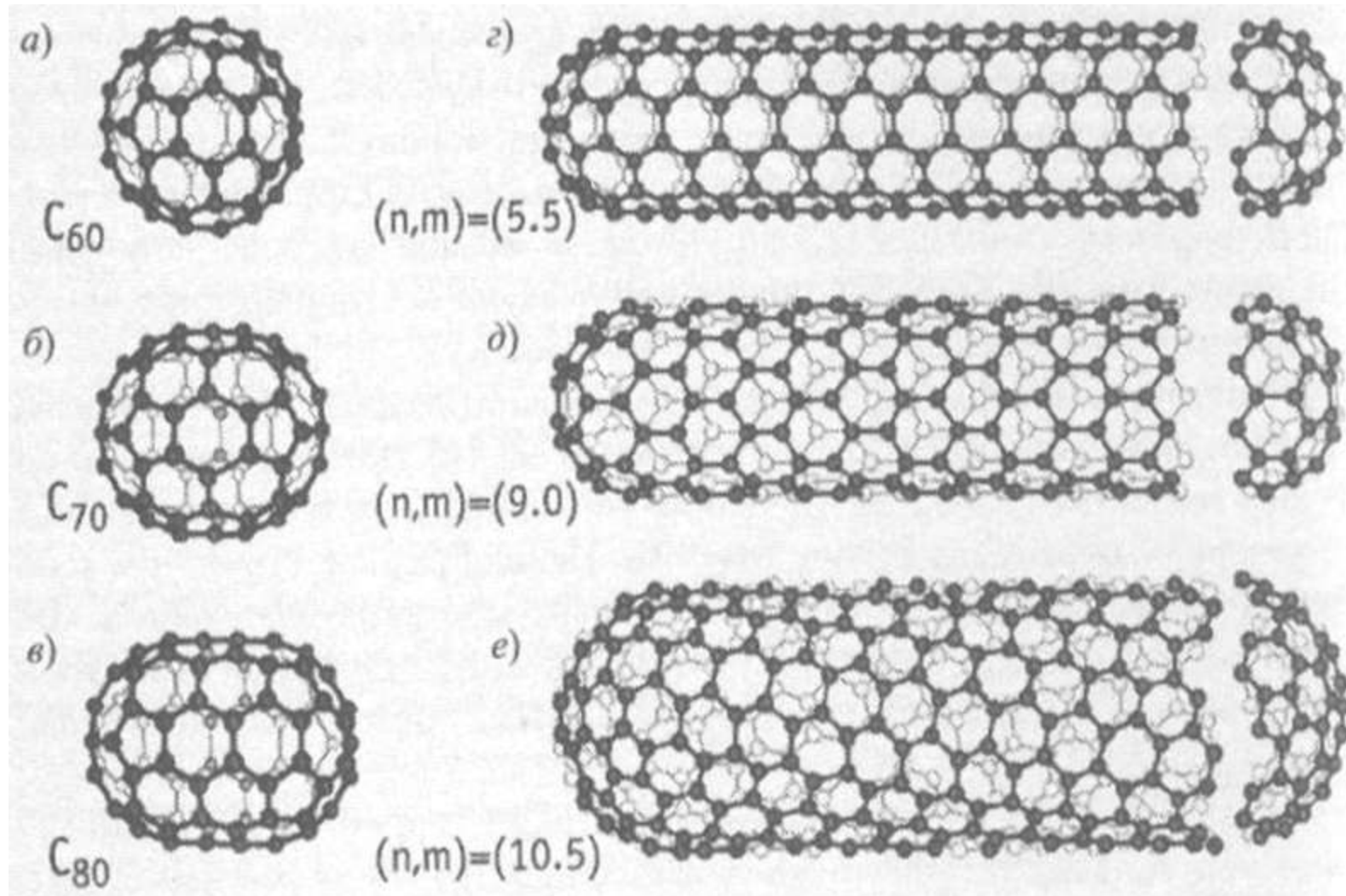


Властивості вуглецевих нанотрубок

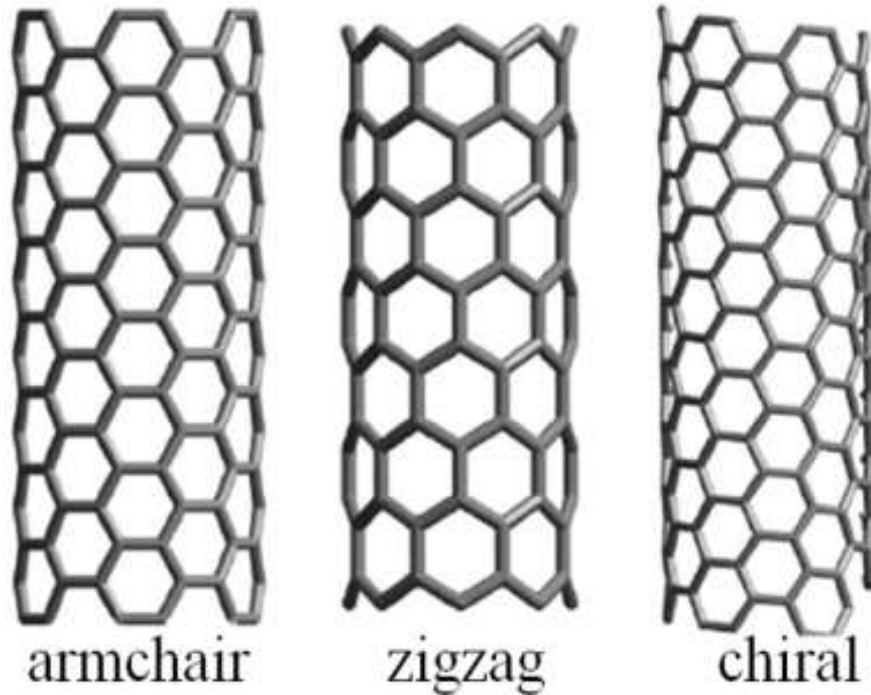
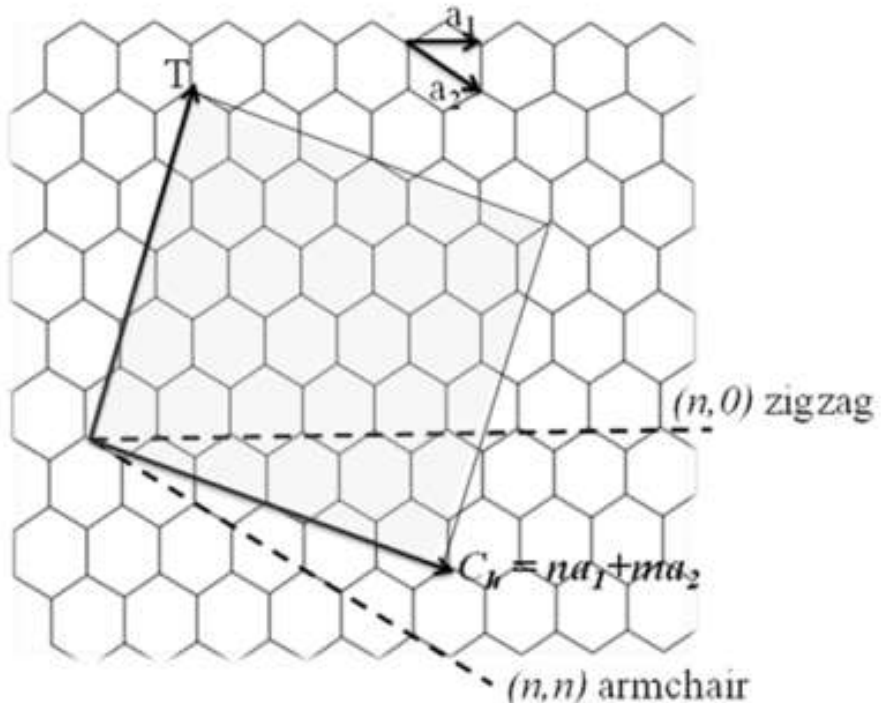


Космічний ліфт за версією NASA

Хіральність нанотрубок



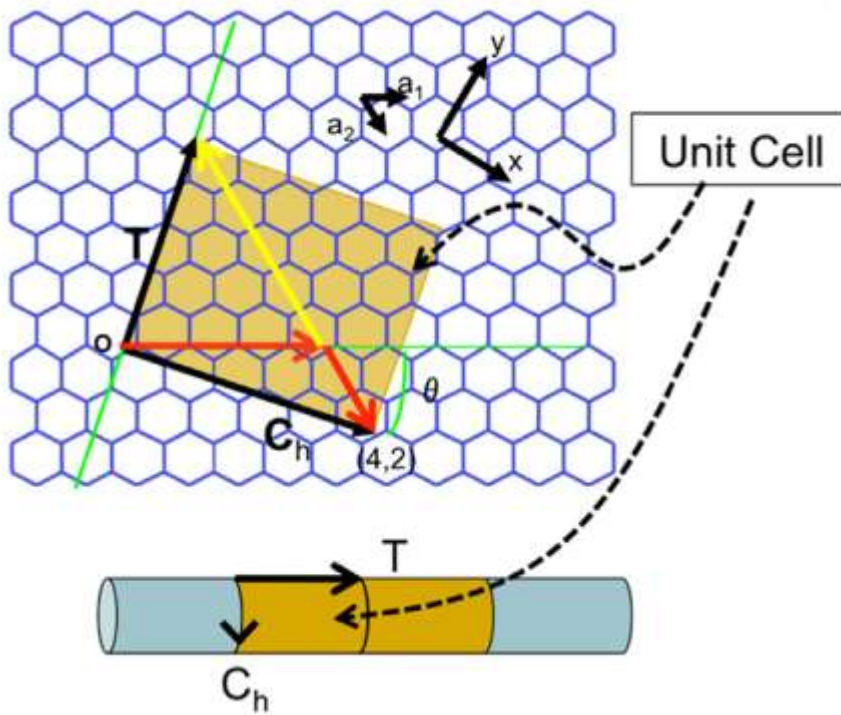
Критерії для напівпровідниковых та металічних трубок



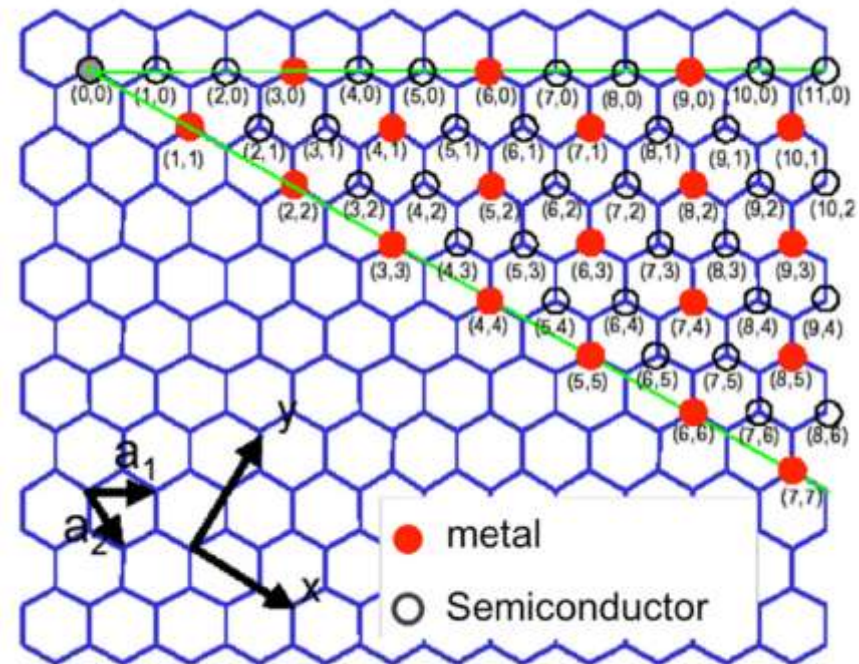
$$|m-n|=3p+q \quad \text{when}$$

$q=0$ - metallic tubes
 $q=\pm 1$ - semiconducting tubes

Індекси хіральності

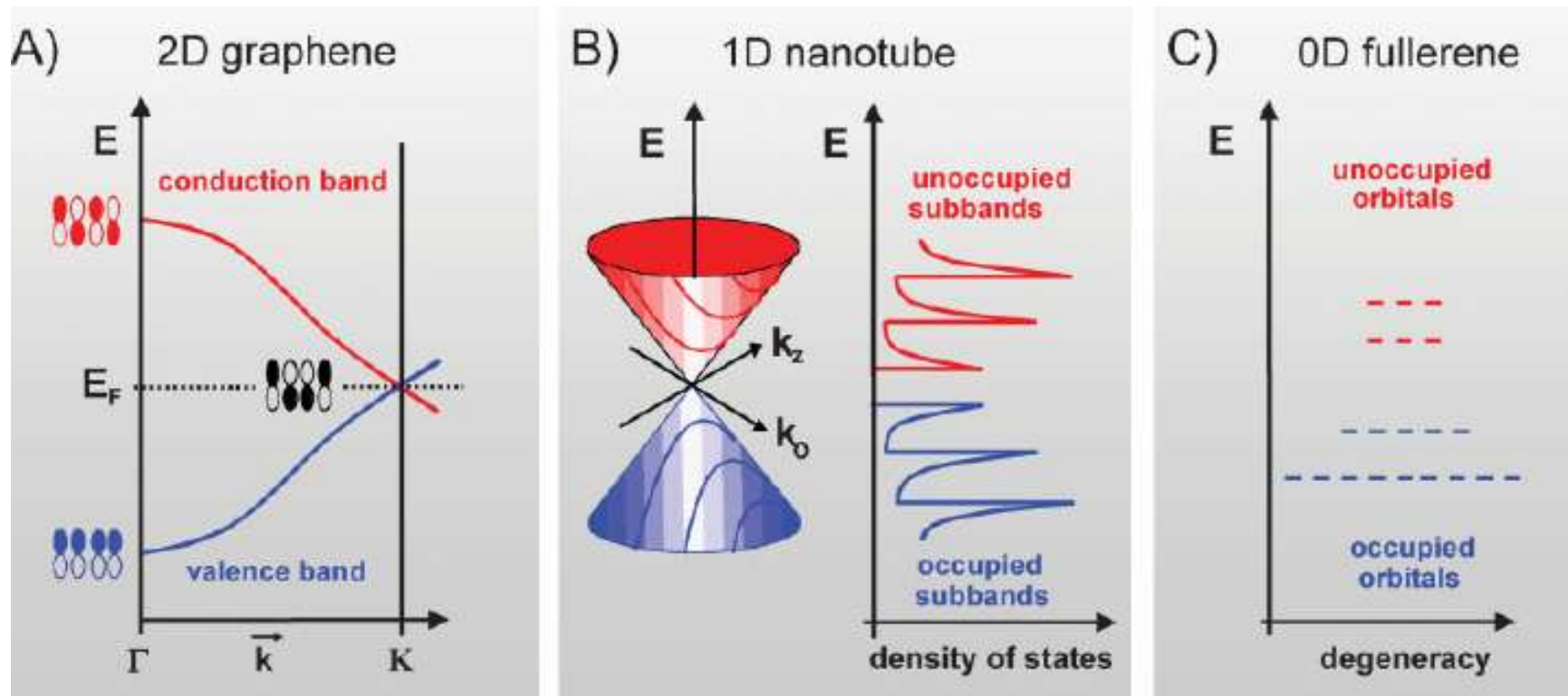


Schematic illustration of the structures of a (4,2) SWNT with lattice chiral vector Ch and tube axis T .



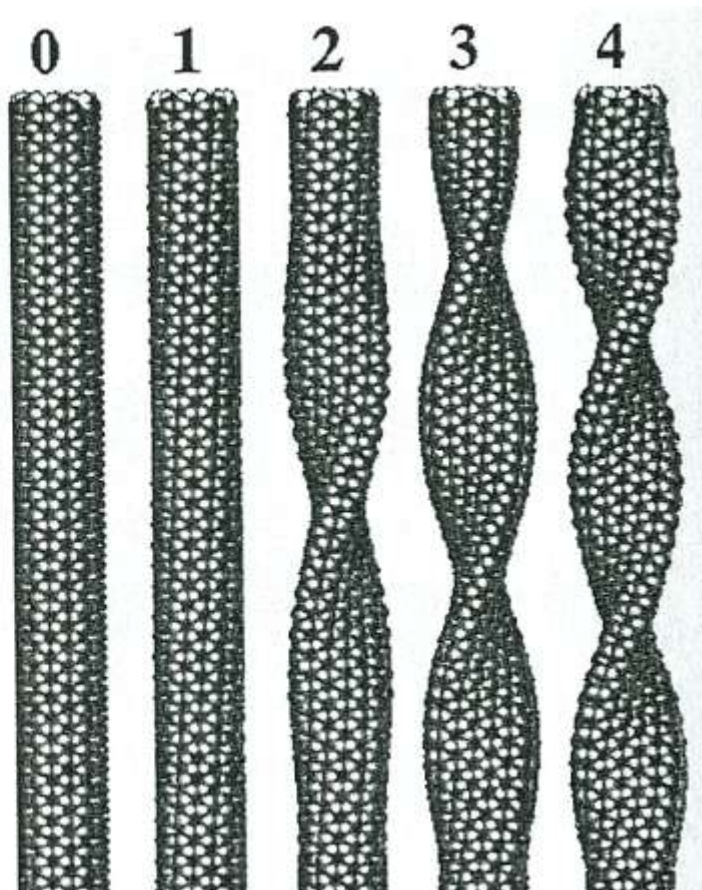
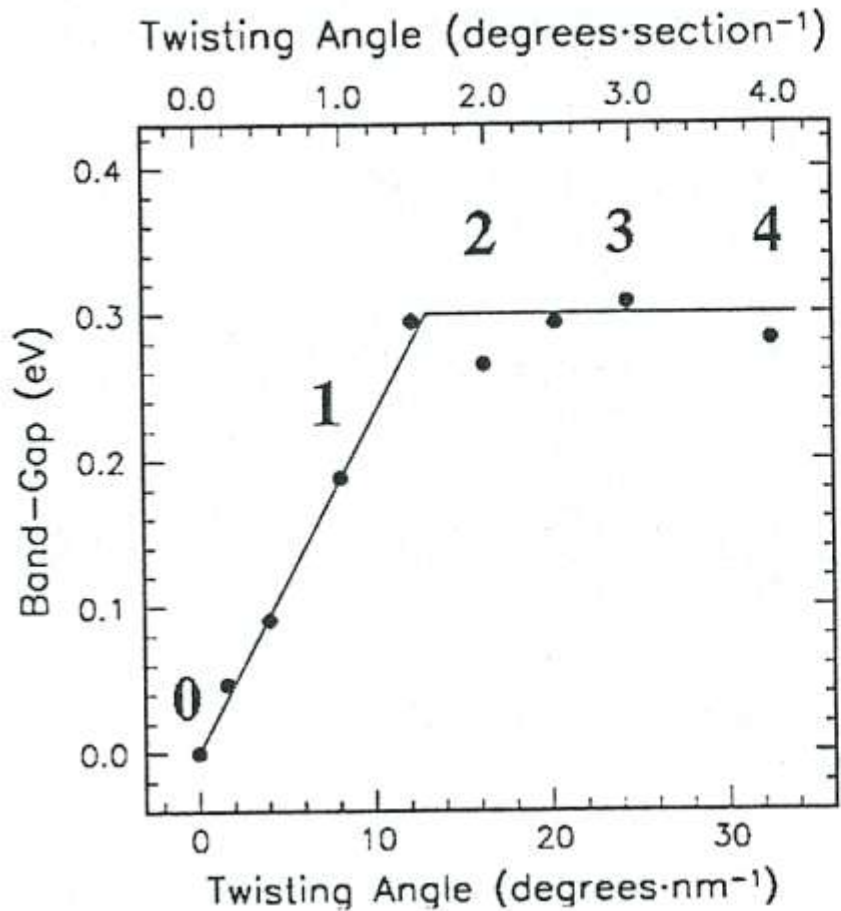
Graphene sheet map showing the chirality of various metallic and semiconducting SWNTs with Ch from $(0,0)$ to the shown SWNT chirality.

Особливості спектра для 2D, 1D та 0D структур



Schematic representation of A) a 1D section of the 2D band structure of graphene, B) the formation of 1D sub-bands in a carbon nanotube by restricting the wave vectors in circumferential direction and the resulting electronic DOS displaying van Hove singularities at the sub-band minima, and C) the set of discrete energy levels arising from the 3D confinement in C_{60} .

Band-Gap of SWCNT



Отримання вуглецевих нанотрубок (найбільш поширений спосіб)



Промислова установка з дуговим розрядом

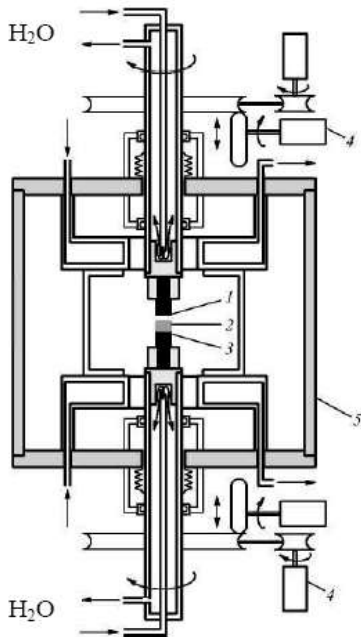


Рис. 5.50. Схема електродугової установки для отримання нанотрубок

1 — графітовий анод; 2 — осадок, що містить нанотрубки;
3 — графітовий катод; 4 — устроїства для автоматичного підтримання межелектродного відстання на заданому рівні; 5 — стінка камери. Стрілками показано напрямлення прокачування води, що використовується для охолодження.

Дуговий розряд відбувається при напругах 25-30 В, густині струму 100 А/см² і розрядному проміжку 1-2 мм. Приблизно 90% маси на катоді — це нанотрубки. Вони формуються у вигляді пучків з діаметром 50 мкм та довжиною 40 мкм

Електролітичний метод отримання нанотрубок

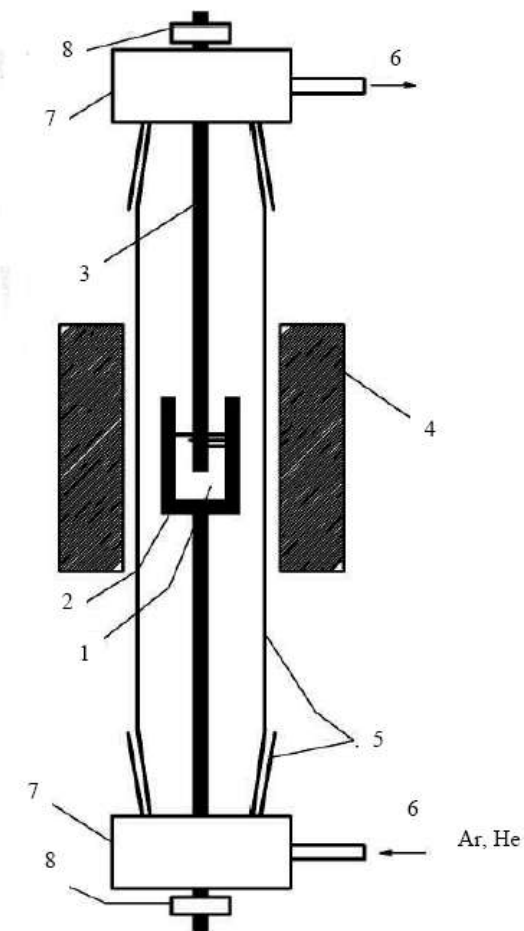
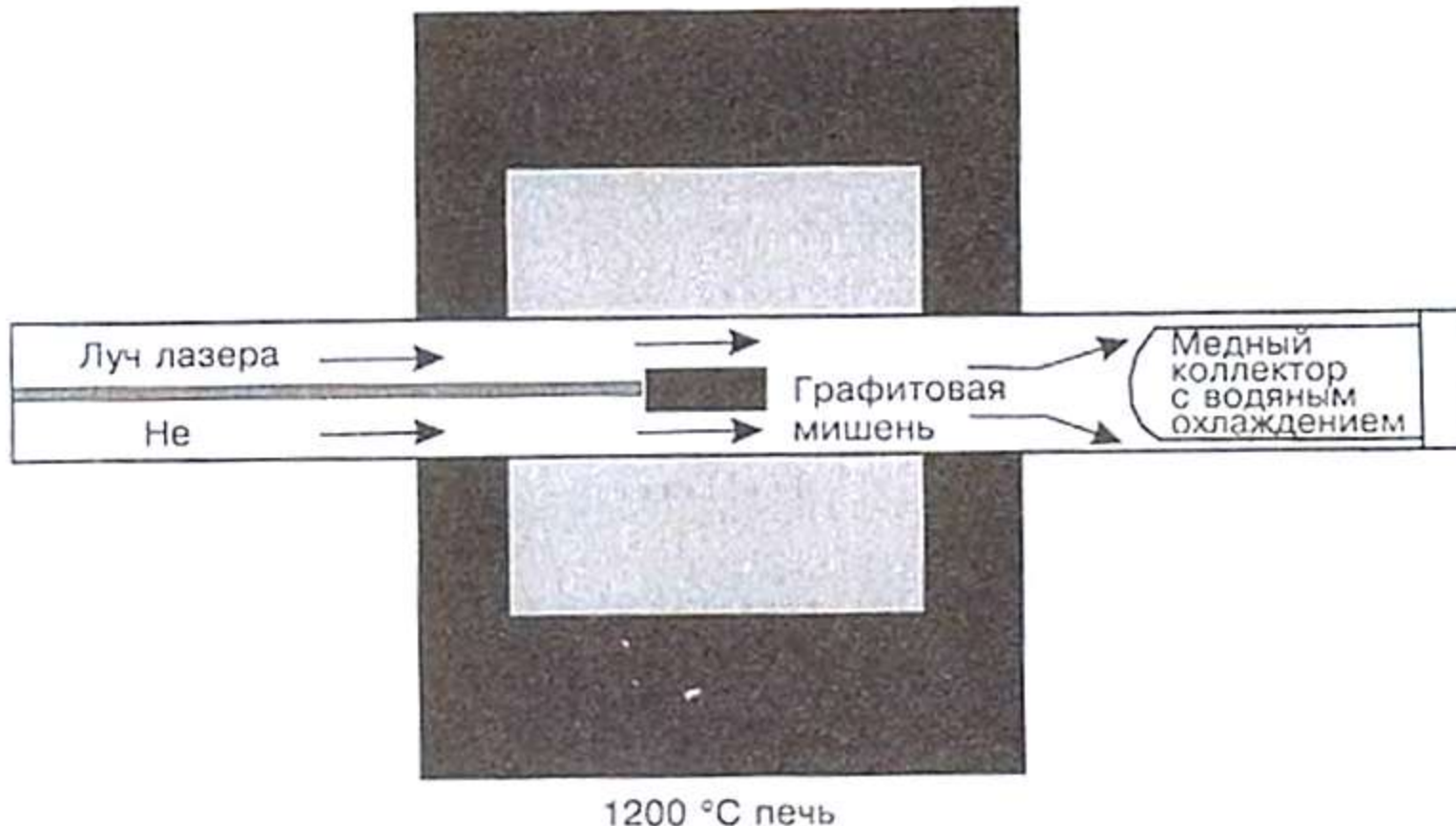


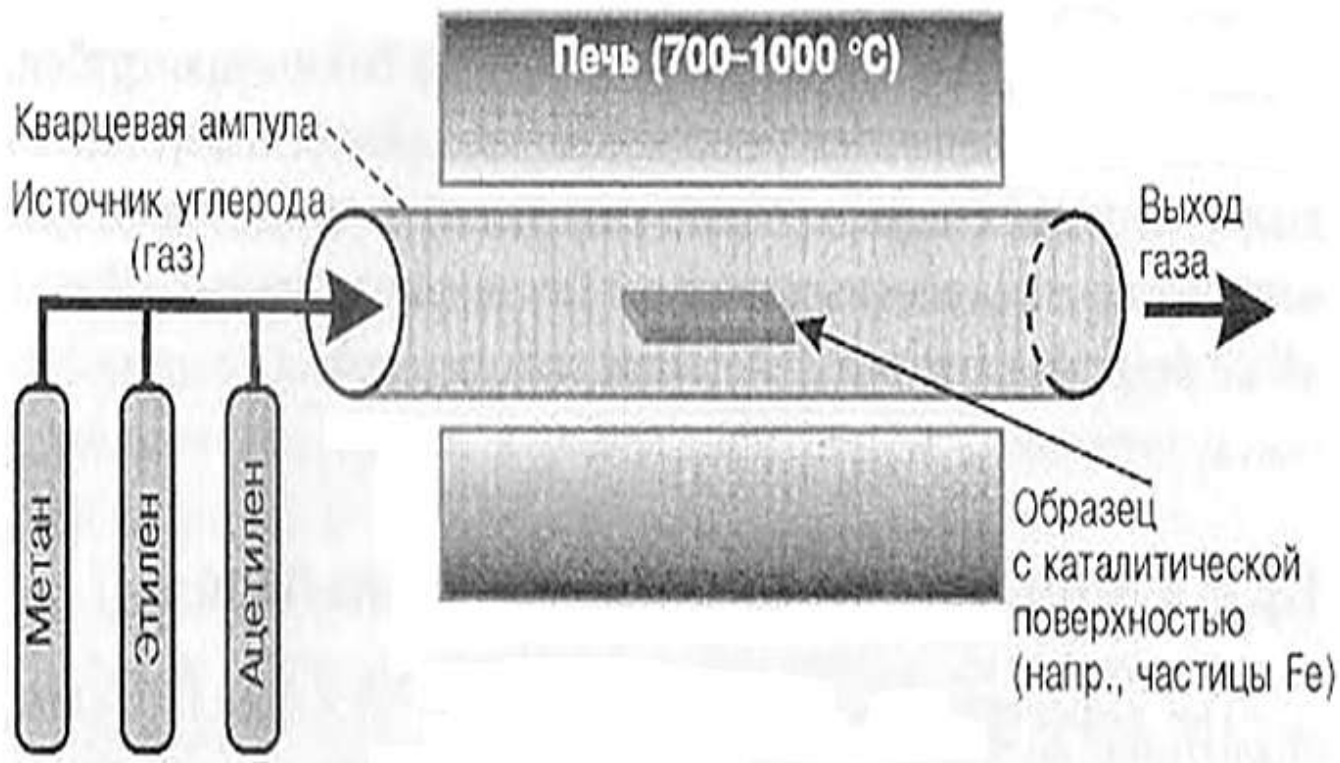
Рис. 5.53. Схема експериментальної установки
для електролітического синтеза нанотрубок

1 – жидкий электролит; 2 – графитовый анод
с отверстием; 3 – графитовый катод; 4 – печь;
5 – кварцевая трубка; 6 – трубки для прокачивания газа; 7
– медные фланцы; 8 – уплотнительные кольца

Отримання вуглецевих нанотрубок (метод лазерної аблляції)



Отримання вуглецевих нанотрубок (метод хімічного осадження)



Каталітичний метод отримання багатошарових нанотрубок

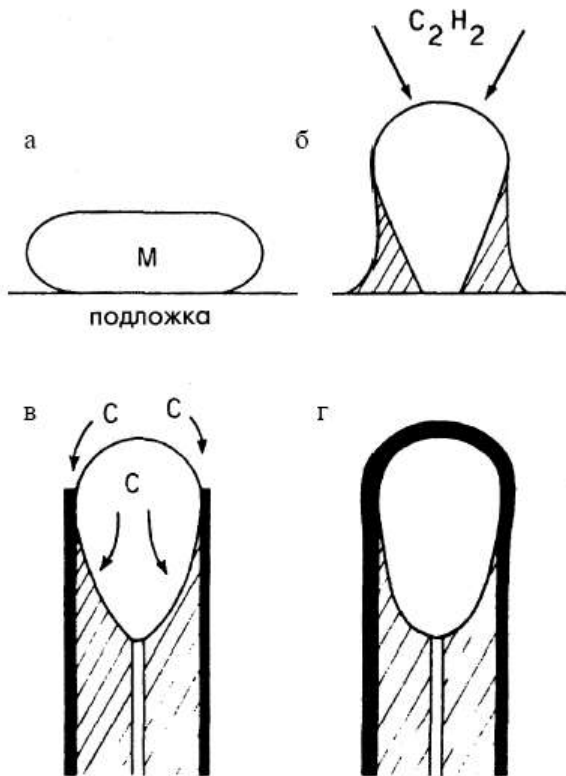
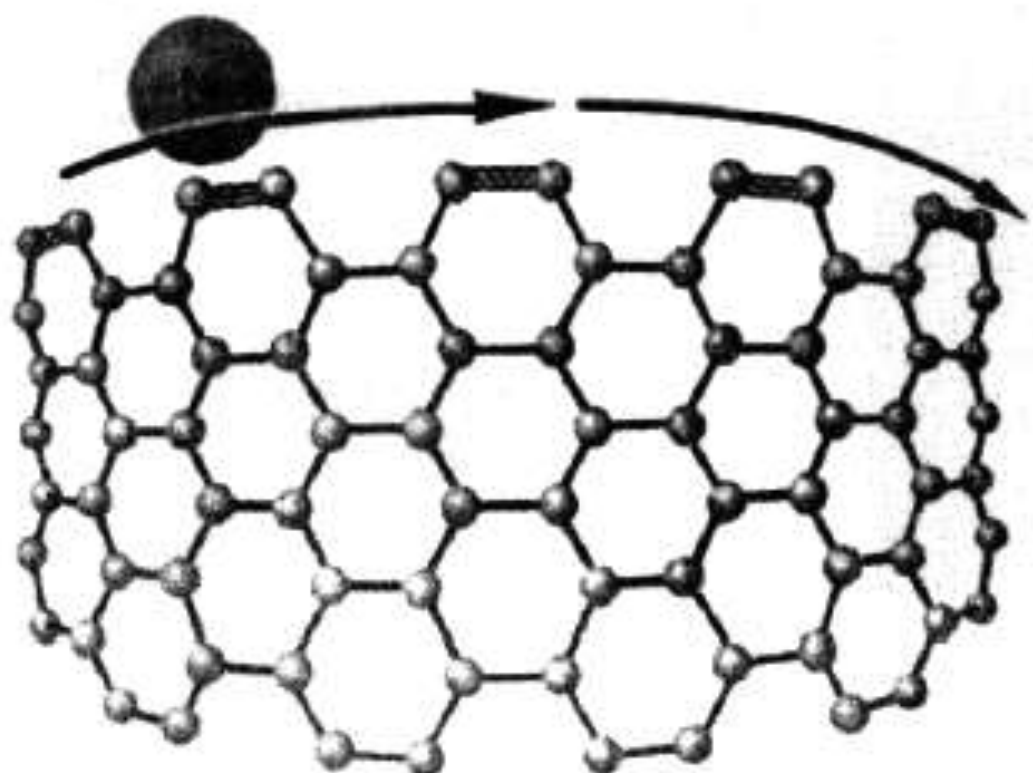


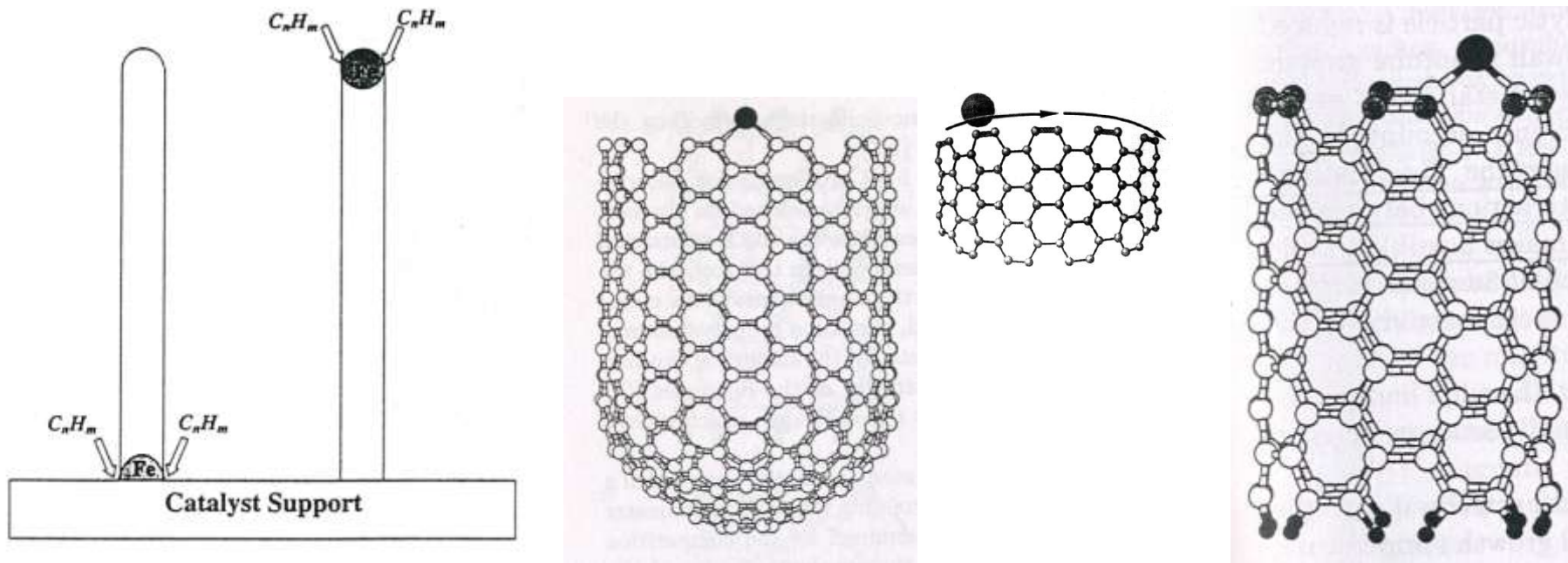
Рис. 5.51. Схема каталитического синтеза многослойных нанотрубок

а – исходная частица металла на подложке,
б – разложение углеводорода,
в – диффузия углерода сквозь металл и рост
стенки нанотрубки.

“Самокатний” механізм кatalітичного росту нанотрубок



Каталітичне вирощування нанотрубок

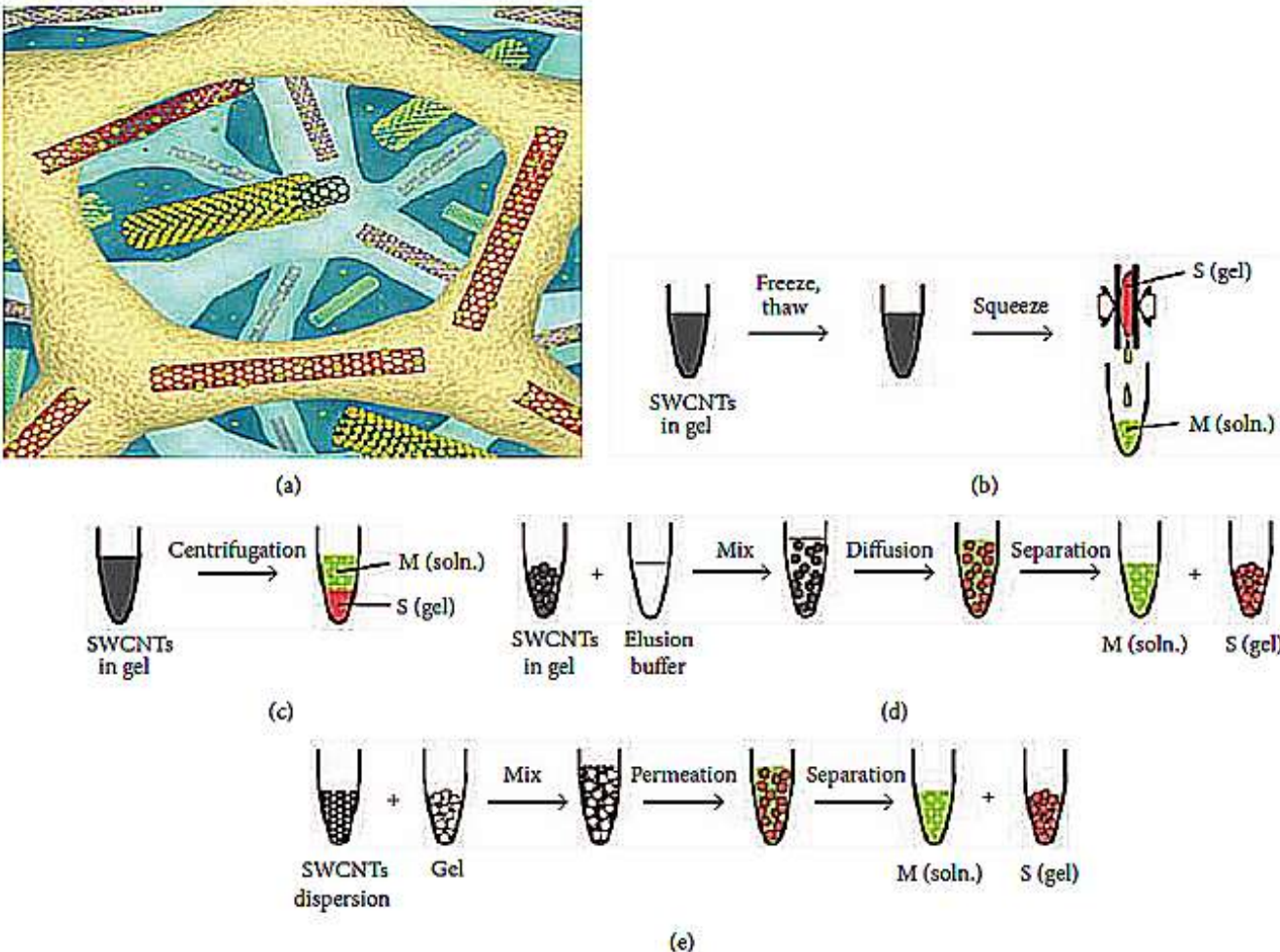


View of (10,10) armchair nanotube (white ball-and-stick atomic structure) with a Ni (or Co) atom (large black sphere) chemisorbed onto the open stage.

The metal catalyst keeps the tube open by “scooting” around the open edge, insuring that any pentagons or other pentagons or other high energy local structure are rearranged to hexagons ($310\text{ }^{\circ}\text{C}$).

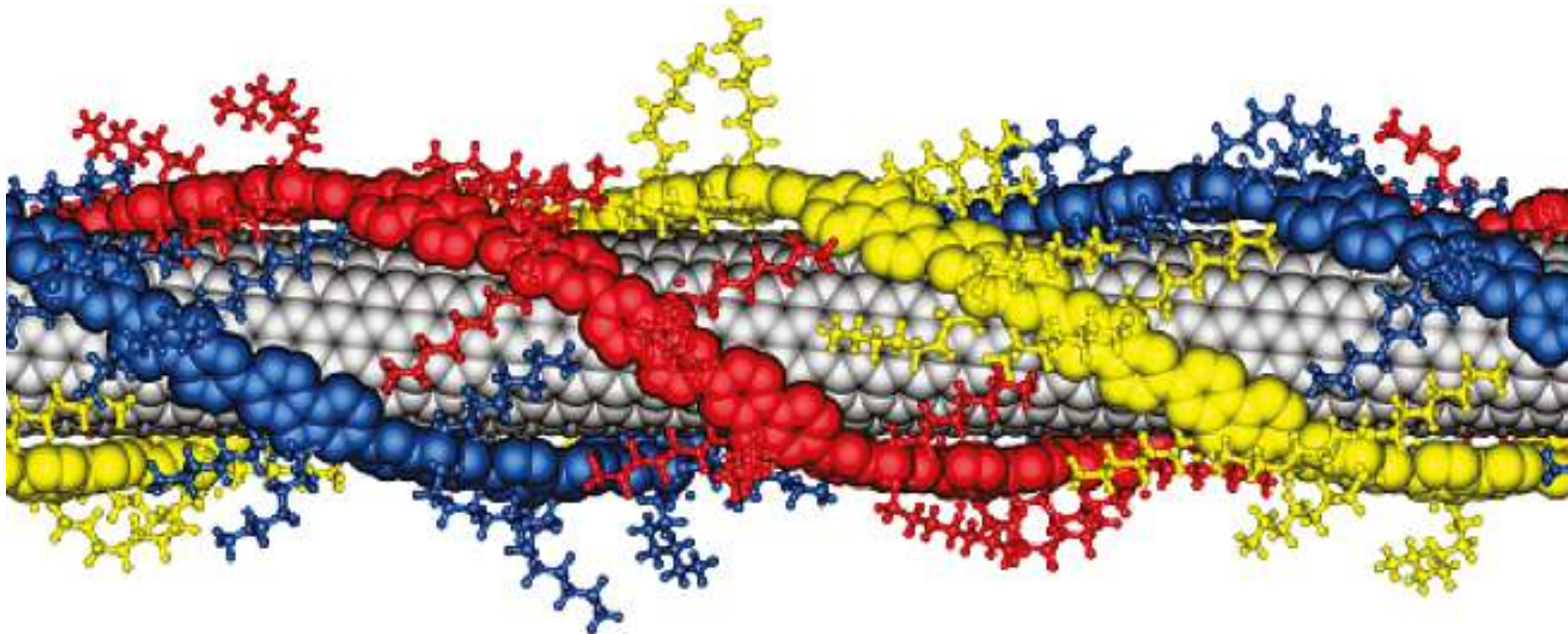
The metal catalyst atom can not prevent the formation of pentagons at $1200\text{ }^{\circ}\text{C}$.

Схеми сепарування CNT



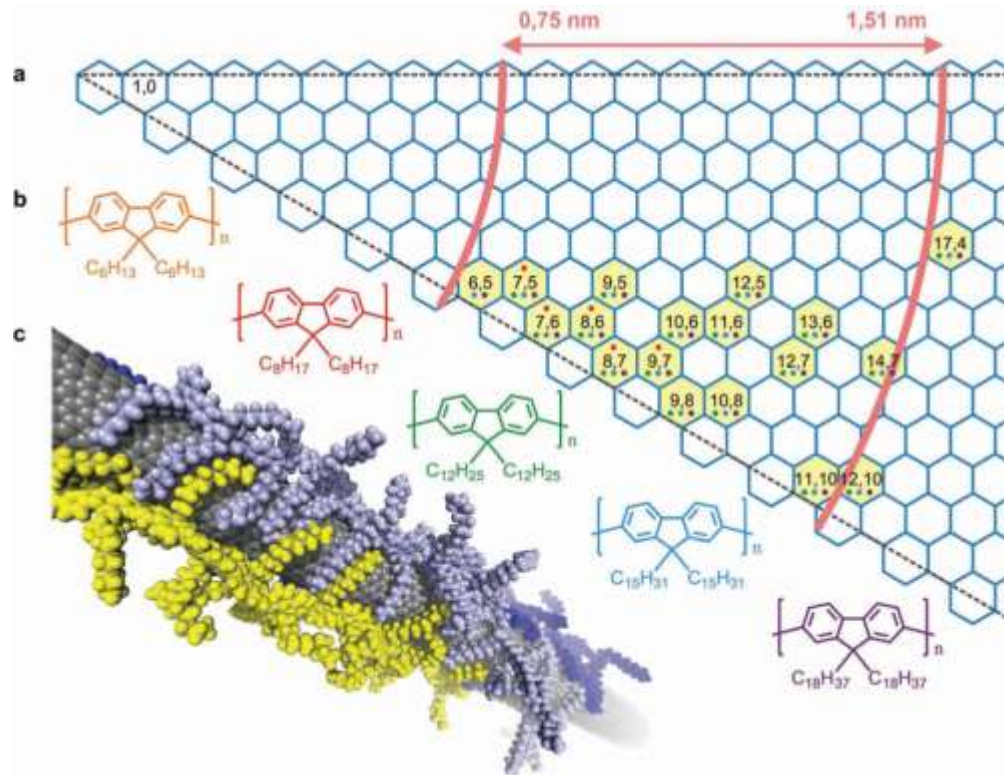
(a) Model of MS separation using agarose gel. Red, semiconducting SWCNTs; beige, agarose gel matrix; green, metallic SWCNTs; yellow, SDS(sodiumdodecyl sulfate). (b) Freeze and squeeze. (c) Centrifugation. (d) Diffusion. (e) Permeation.

Технологія обгортання СНТ



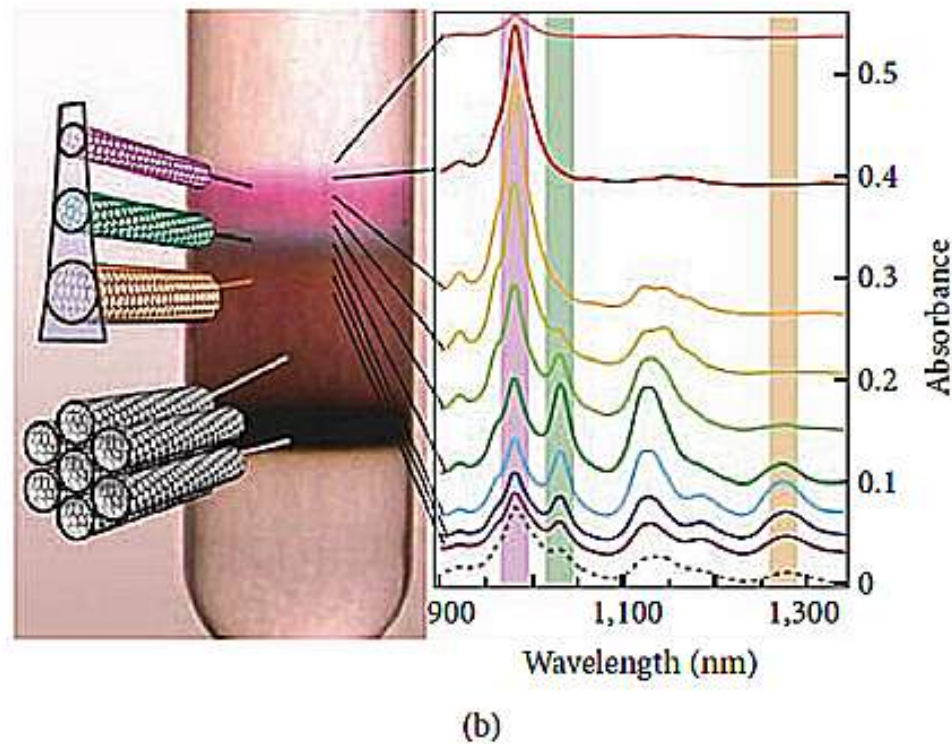
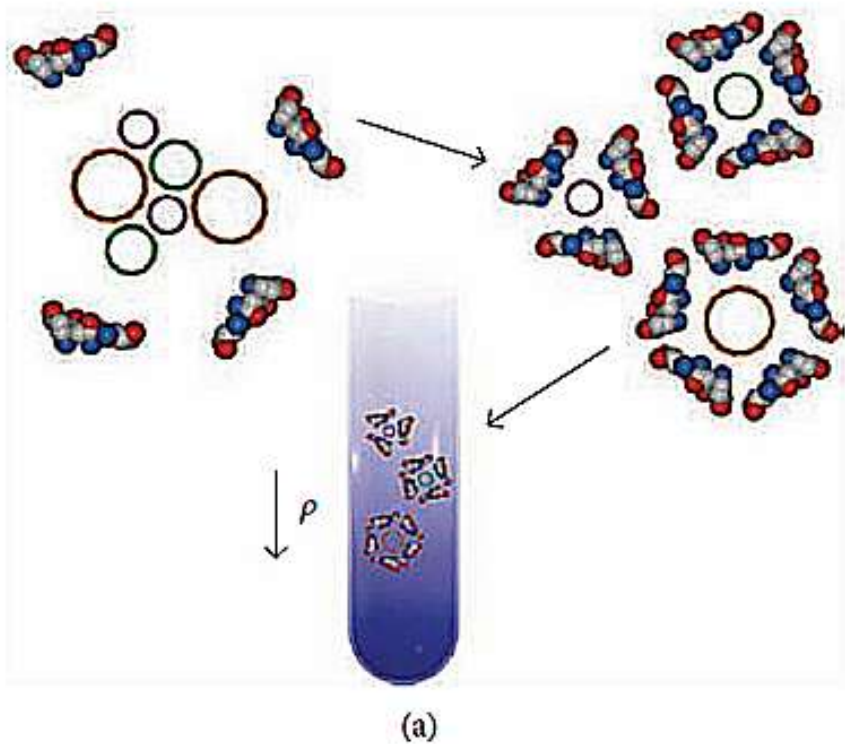
(8,6) Nanotube wrapped by three PFO(polyfluorene) chains (represented as blue, red, and yellow structures) forming helices.

Формування напівпровідникових СНТ



(a) Chirality map of SWCNTs selected by polymer wrapping. In yellow the SWNTs selected are underlined; the color of the dots inside the hexagons indicates which of the polyfluorene derivatives (color code used for the chemical structures) is able to select the nanotubes. (b) Chemical structure of the polyfluorene derivatives used: PF6, PF8 (commonly known as PFO), PF12, PF15, and PF18. (c) Structure as obtained by molecular dynamics simulations of three PF12 chains wrapped around a (12,10) nanotube after 10 ns at constant-pressure in toluene solution.

Сортування та виділення СНТ



(a) Schematic of SWCNTs surrounded by surfactant and their sorting. (b) Picture of SWCNTs after separation and the optical absorbance spectra. SWCNTs were sorted evidently.

Багатошарові нанотрубки

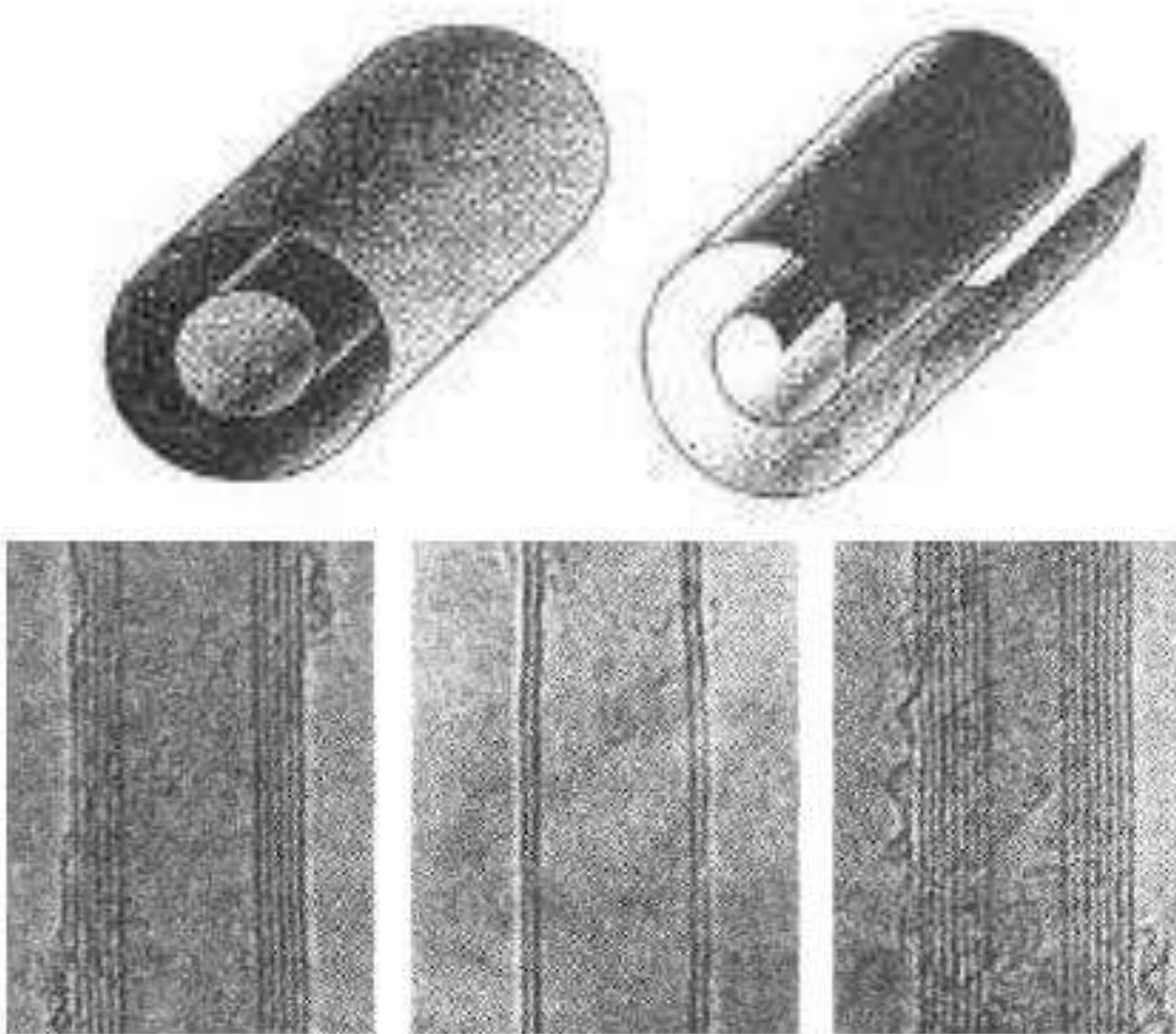


Рис. 5.25. Фрагменты многослойных нанотрубок [6]

Зігнуті нанотрубки

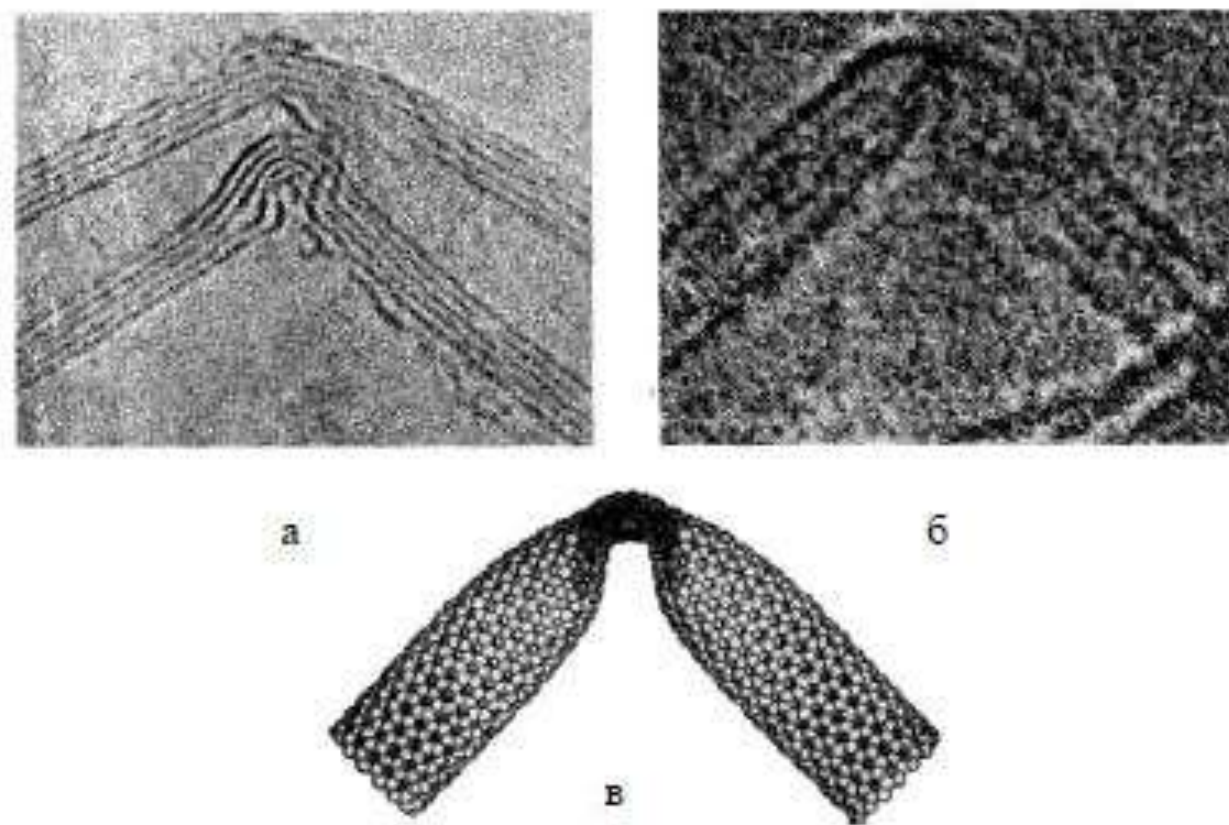


Рис. 5.30. Изображения изогнутых многослойной (а) и однослойной (б) нанотрубок и модель изогнутой структуры (в) [6]

Електронні прилади

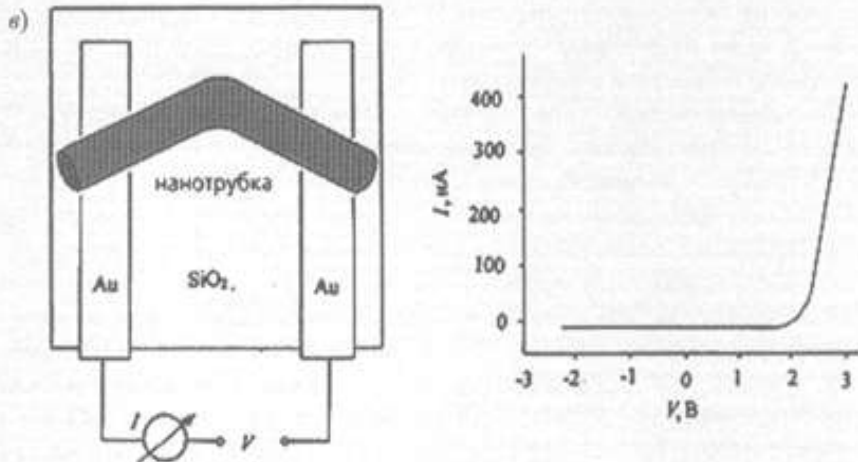
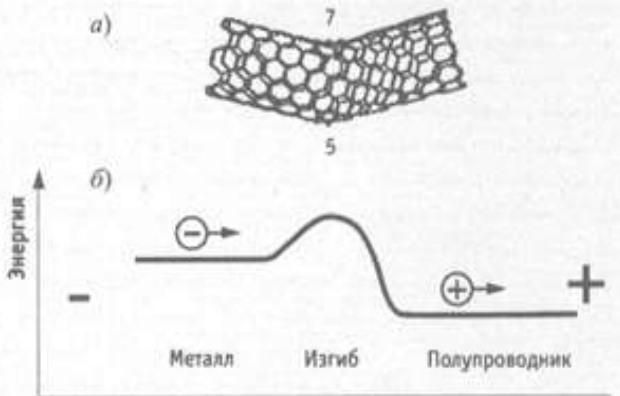


Рис. 14.18. (а) Изгиб углеродной нанотрубки за счёт введения дефекта «семиугольник-пятиугольник», (б) влияние изгиба нанотрубки на энергию подвижных электронов, (в) выпрямляющий диод Шоттки на изогнутой нанотрубке. Нанотрубка лежит на непроводящей (кварцевой) подложке в контакте с двумя сверхтонкими проводами

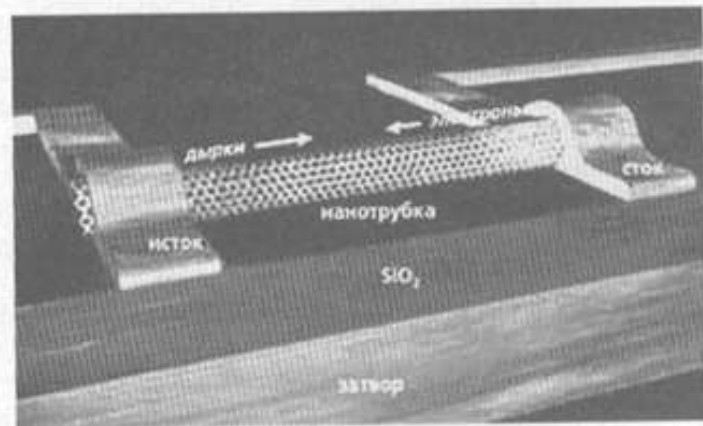


Рис. 14.19. Полевой транзистор на полупроводниковой нанотрубке. Нанотрубка лежит на слое изолятора (кварц) в контакте с двумя сверхтонкими металлическими электродами, в качестве третьего электрода (затвора) используется подложка кремния [108]

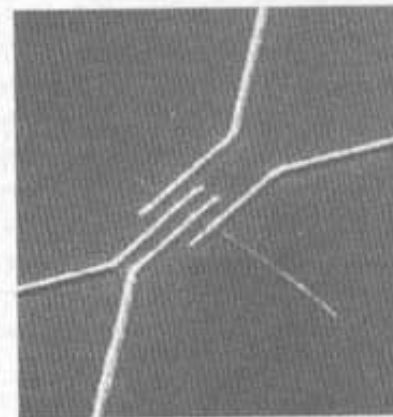


Рис. 14.20. Приборная структура для измерения удельного электрического сопротивления индивидуальных нанотрубок четырёхконтактным способом [110]

Нанотранзистор на нанотрубці

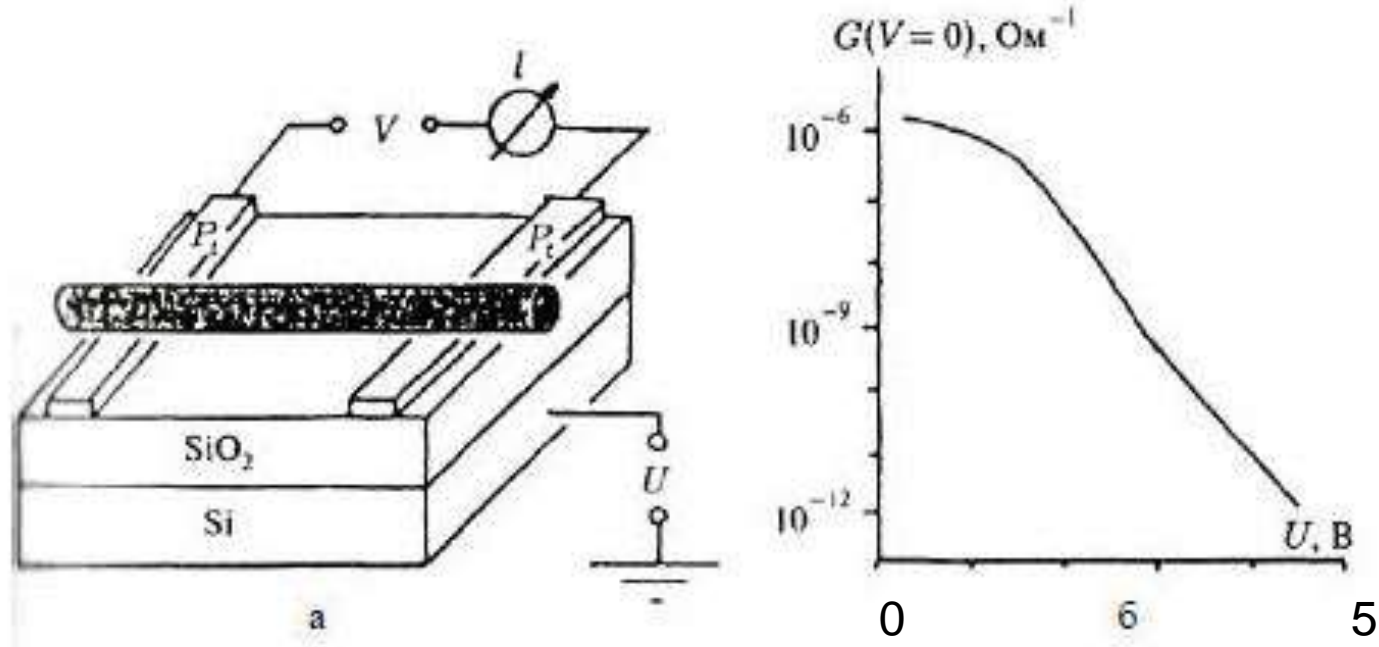
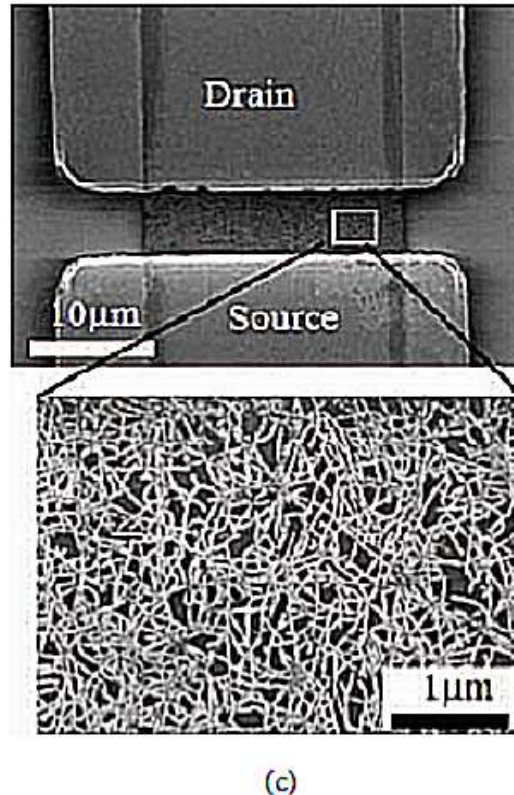
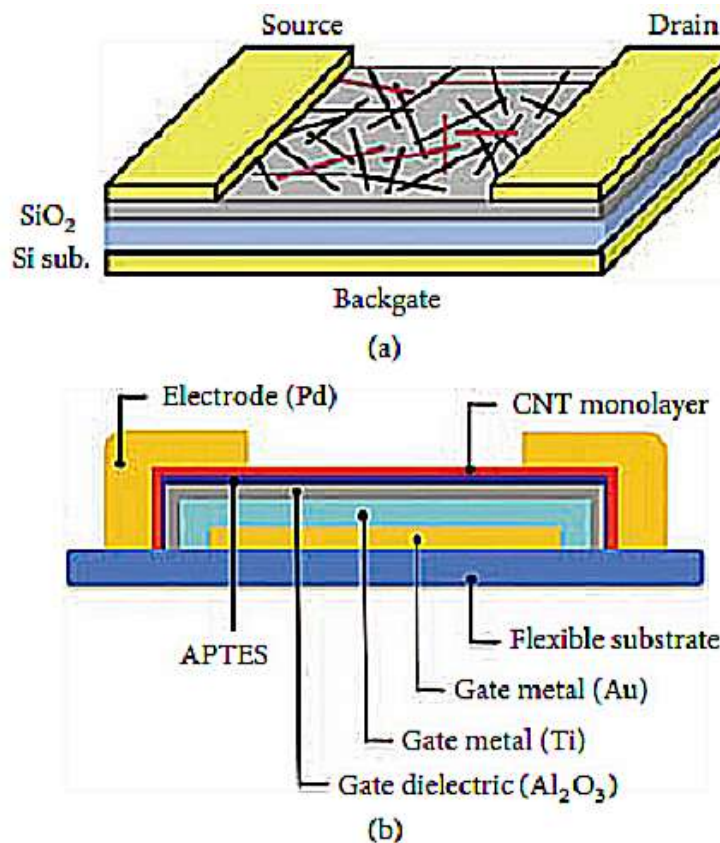


Рис. 5.44. Полевий нанотранзистор на полупроводникової нанотрубці [7]
а – схема нанотранзистора, б – залежність провідності цепі нанотранзистора G
от потенціала затвора U

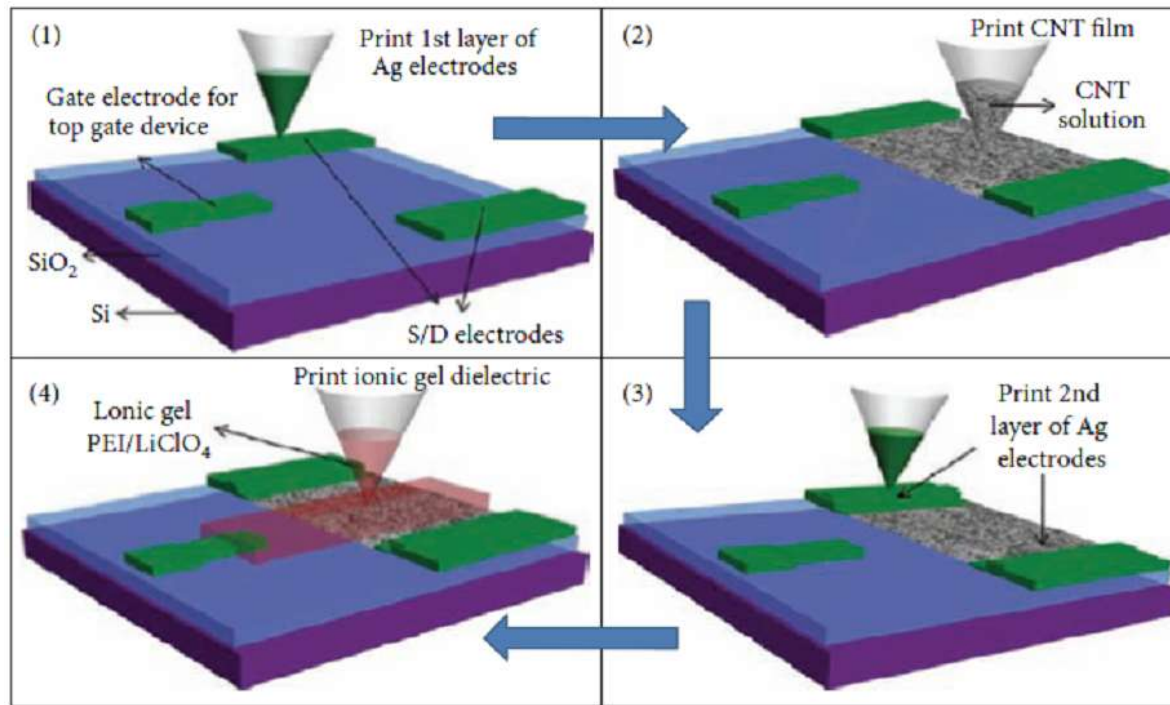
Нанотрубки на гнучких підкладинках



3-amino-propyltriethoxysilane (APTES)

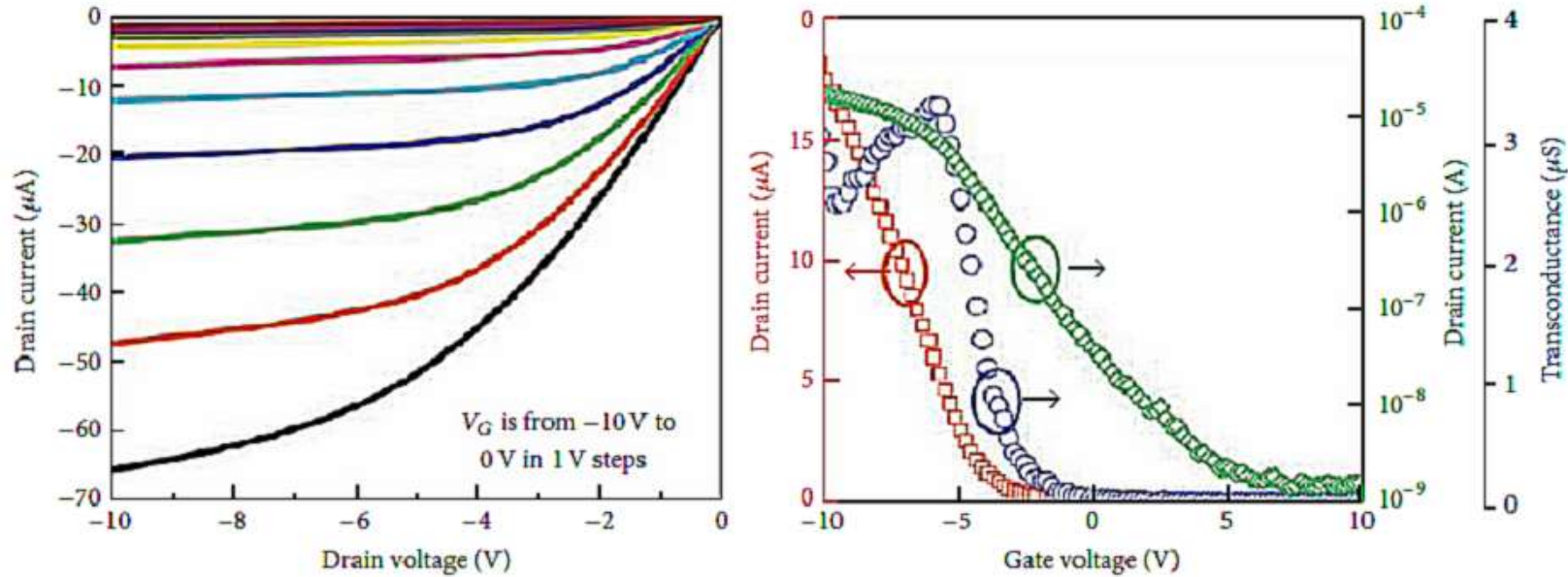
Typical structure of SWCNT-TFT. (a) Schematic diagram. This type of TFT is fabricated on silicon wafer. The silicon substrate works as the backgate and SiO_2 works as the gate dielectric. (b) Schematic diagram 2. The other type of TFT is fabricated on flexible substrate like polyamide. (c) SEM image of a TFT fabricated on silicon substrate with SWCNT network as its channel.

Printing technology TFT based on CNT



Schematic for fabrication process of a SWCNT-TFT by ink-jet printing. The whole device was fabricated by printing. First, a layer of silver ink was printed on the substrate to form source and drain electrode. The silver layer was sintered at a temperature of 180°C to obtain low resistance. Then SWCNT solution was used as ink to print the channel. After that, another layer of silver ink was printed to improve the contact between SWCNT and silver electrode. Finally, the gate dielectric and gate electrode were fabricated.

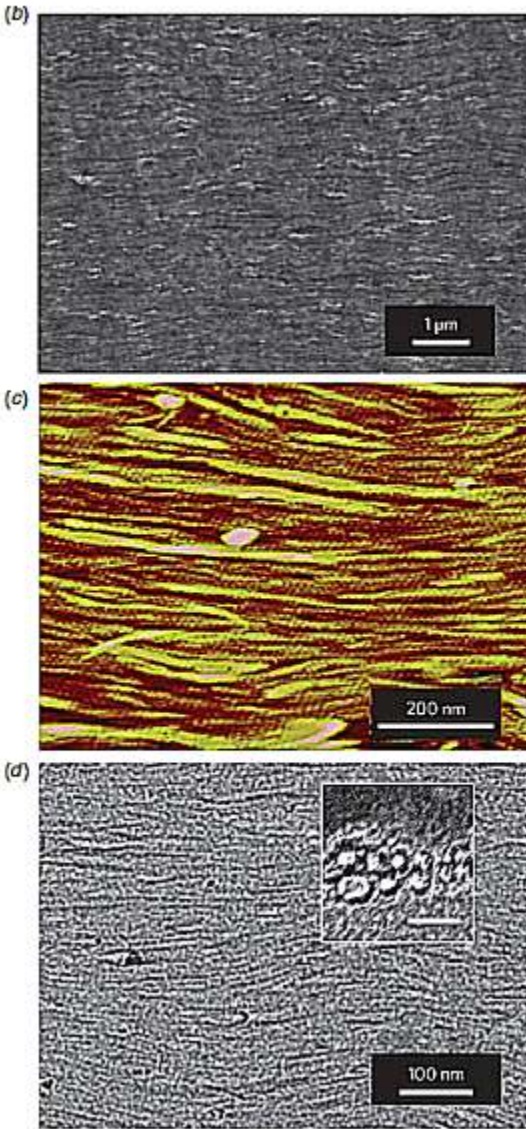
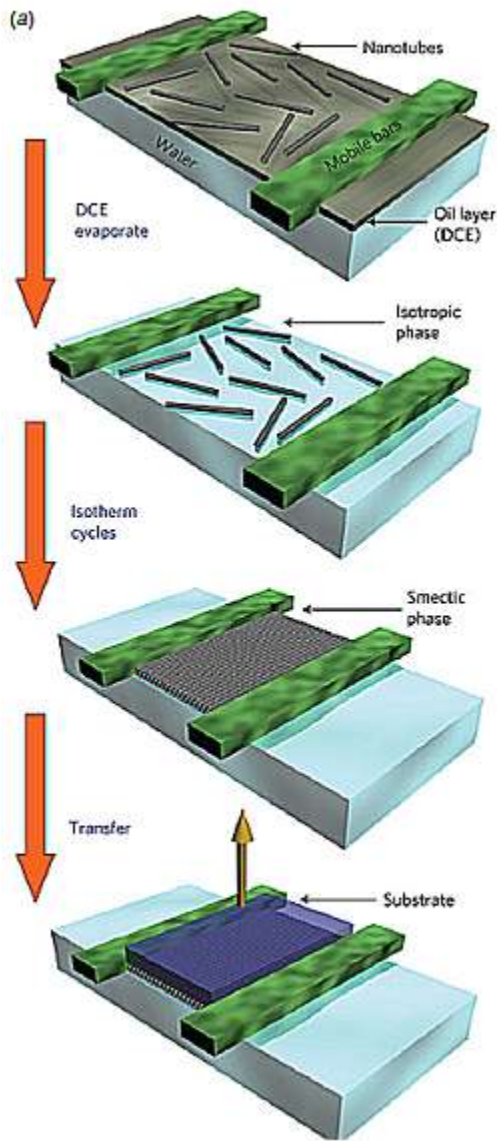
TFT транзистори на сіткових CNT



Drain current and transconductance versus voltage characteristics of SWCNT-TFTs.

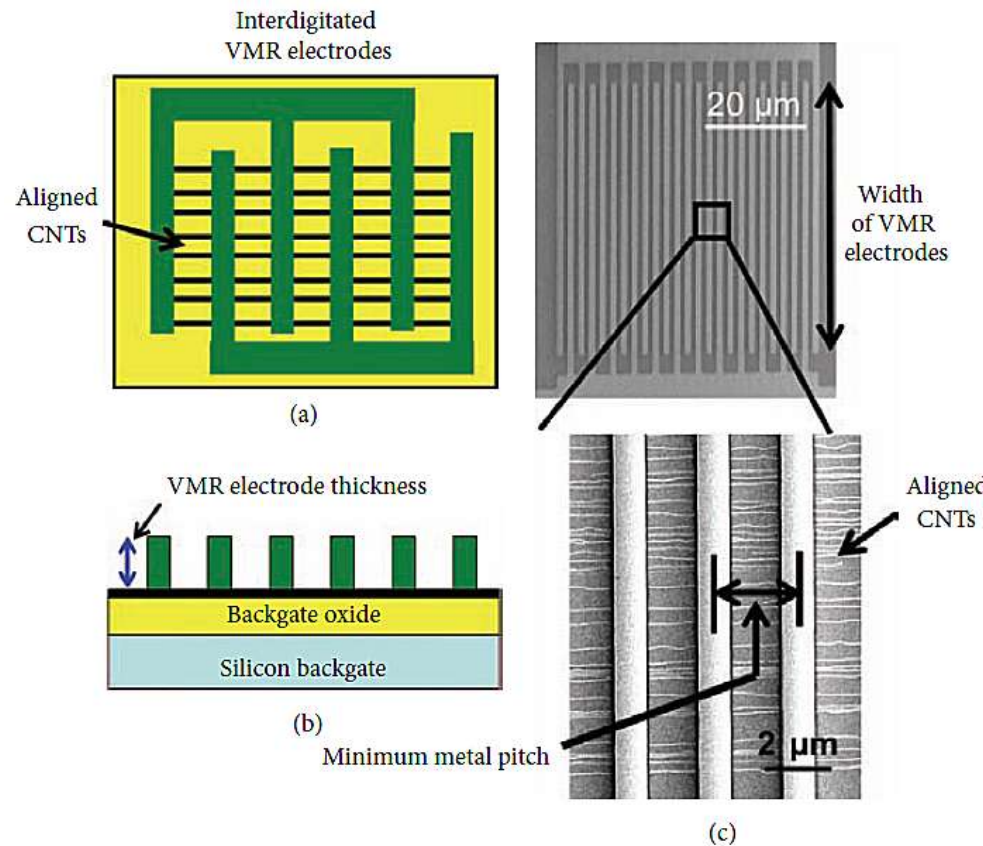
There is a peak in the transconductance curve, and it suggests a near linear subthreshold slope. When drain voltage is small, the device shows a linear relationship between drain current and voltage. With the increase of drain voltage, it shows semiconducting characteristics and acts as a P-type transistor.

Масиви лінійно впорядкованих СНТ



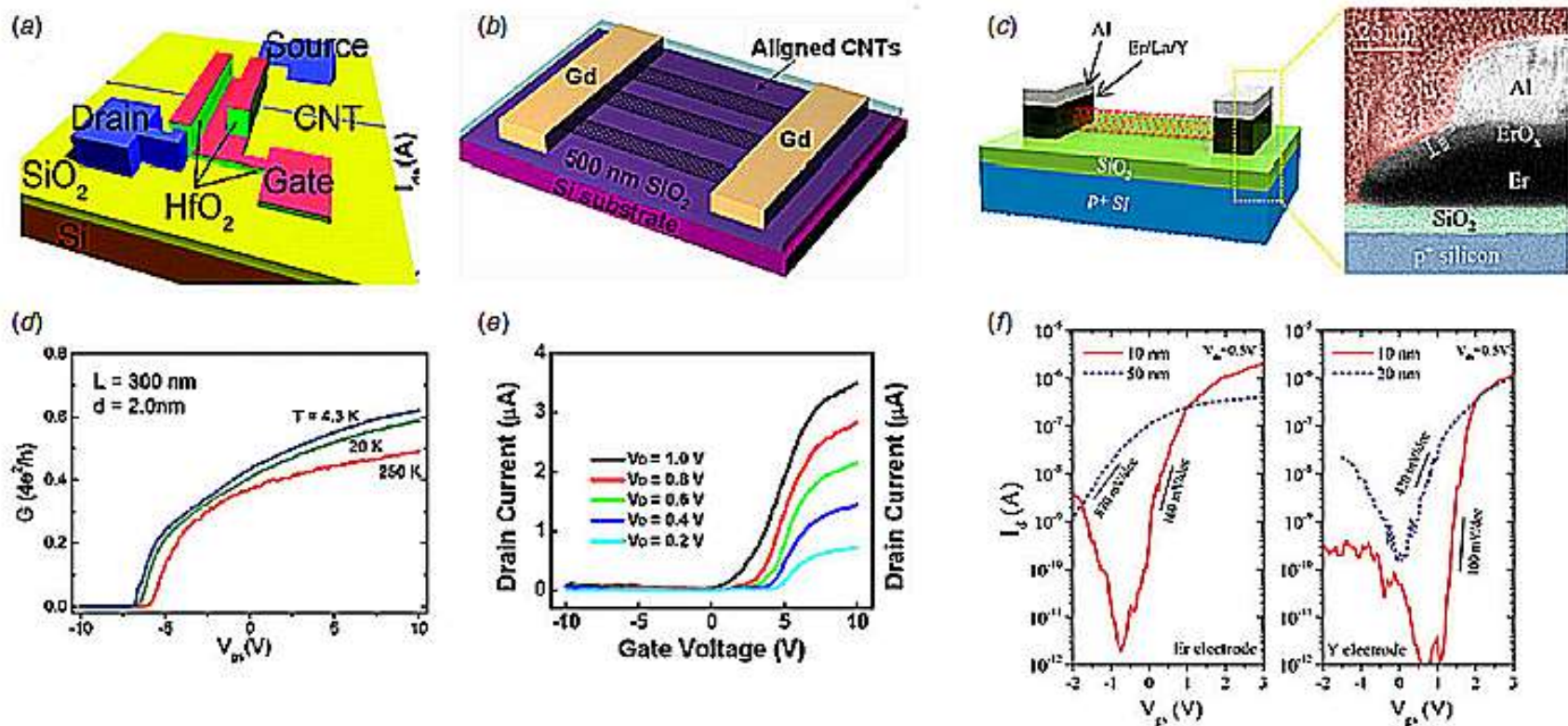
Langmuir–Schaefer assembly of full-coverage aligned semiconducting CNT arrays. (a) Schematic of the Langmuir–Schaefer assembly process flow. (b)–(d) SEM(b), AFM (c), TEM (d) images of aligned nanotube arrays on substrates.

Електричне випалювання металевих СНТ



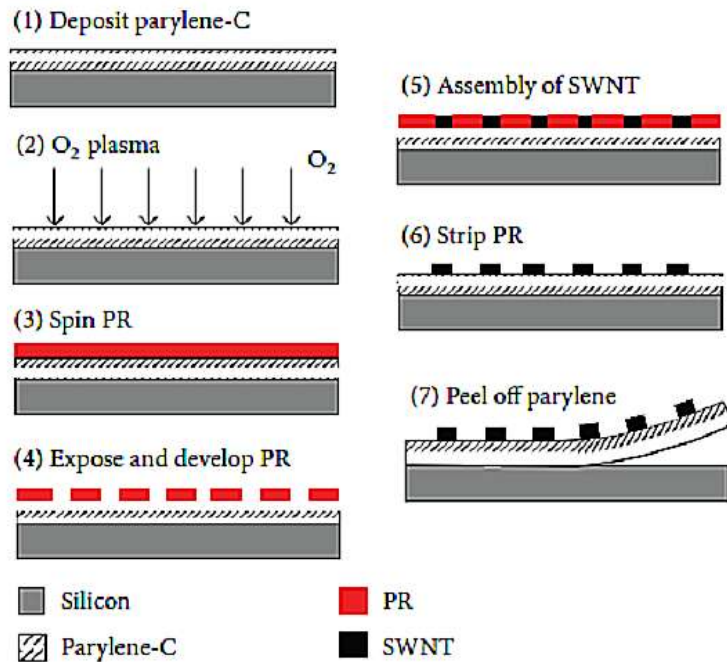
View of VLSI compatible Metallic CNT Removal (VMR) structure. (a) Top view. (b) Cross-sectional view. (c) SEM image (top view). The high voltage is applied to the interdigitated electrodes. The silicon backgate with an appropriate voltage turns off the semiconducting CNTs. Metallic CNTs between digitation will breakdown.

N-type TFT транзиستори на CNT



(a)–(c) Schematic of N-type transistor from reference, respectively. (d)–(f) Representative transfer characteristics of N-type transistor corresponding to transistor structure (a)–(c). In order to achieve nanotube transistors with n-type behavior, metals with small work function need to be used.

Нанотрубки на органічних підкладинках



Schematic drawing of the direct patterning of SWCNTs onto a flexible substrate. The parylene-C film was disposed by O₂ plasma for 30 s to change hydrophobic surface into hydrophilic and defined microchannel by optical lithography. Then dipped the chip into aqueous SWCNT solution and pulled it up slowly with a speed of 0.1 mm/min. Photoresist was removed by acetone after completing dip coating. The flexible parylene-C SWCNT film could be peeled off from the substrate.



Optical microscopy image of an integrated circuited consisting of several dozens of SWCNT-network transistors on a thin polyimide sheet.

Наномеханізми

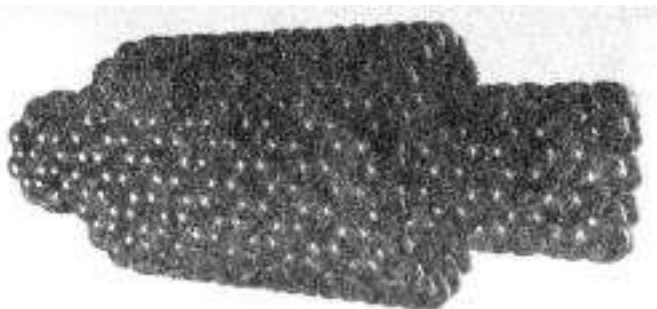


Рис. 5.32. “Наноподшипник” на двух нанотрубках

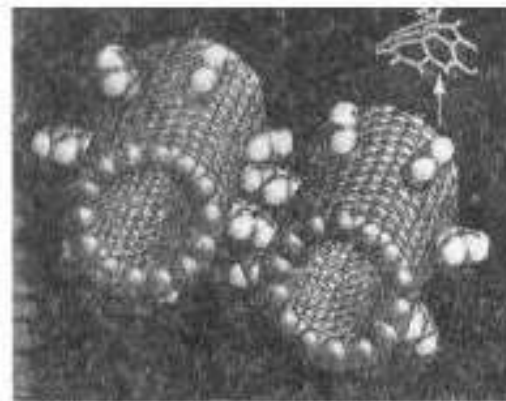


Рис. 5.33. Зубчатая передача на нанотрубках

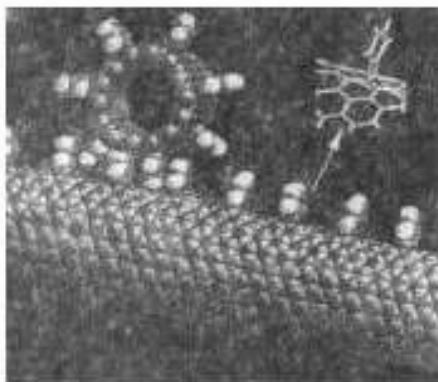


Рис. 5.34. Червяная передача на нанотрубках

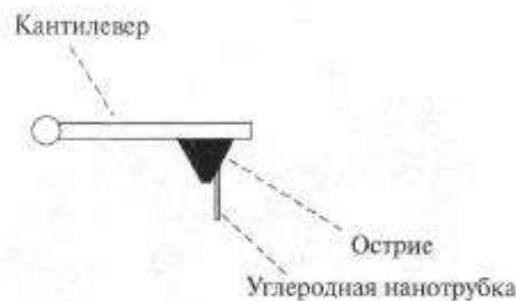


Рис. 5.37. Схема размещения однослойной нанотрубки на кантілевере атомного силового микроскопа

Наноавтомобіль. Від ідеї до реалізації.

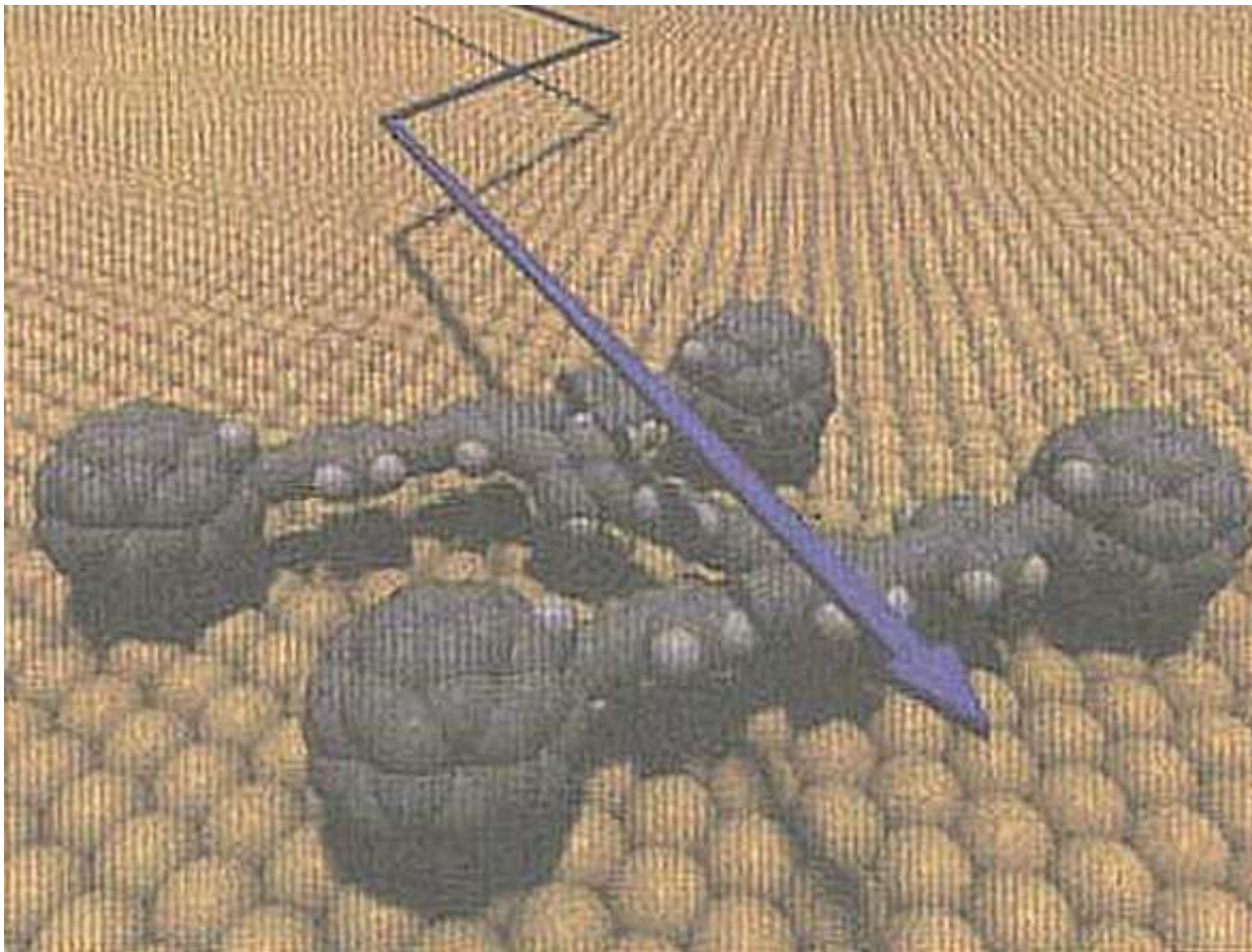


Рис. 4.8. Стросніє наноавтомобіля

Експериментальний зразок

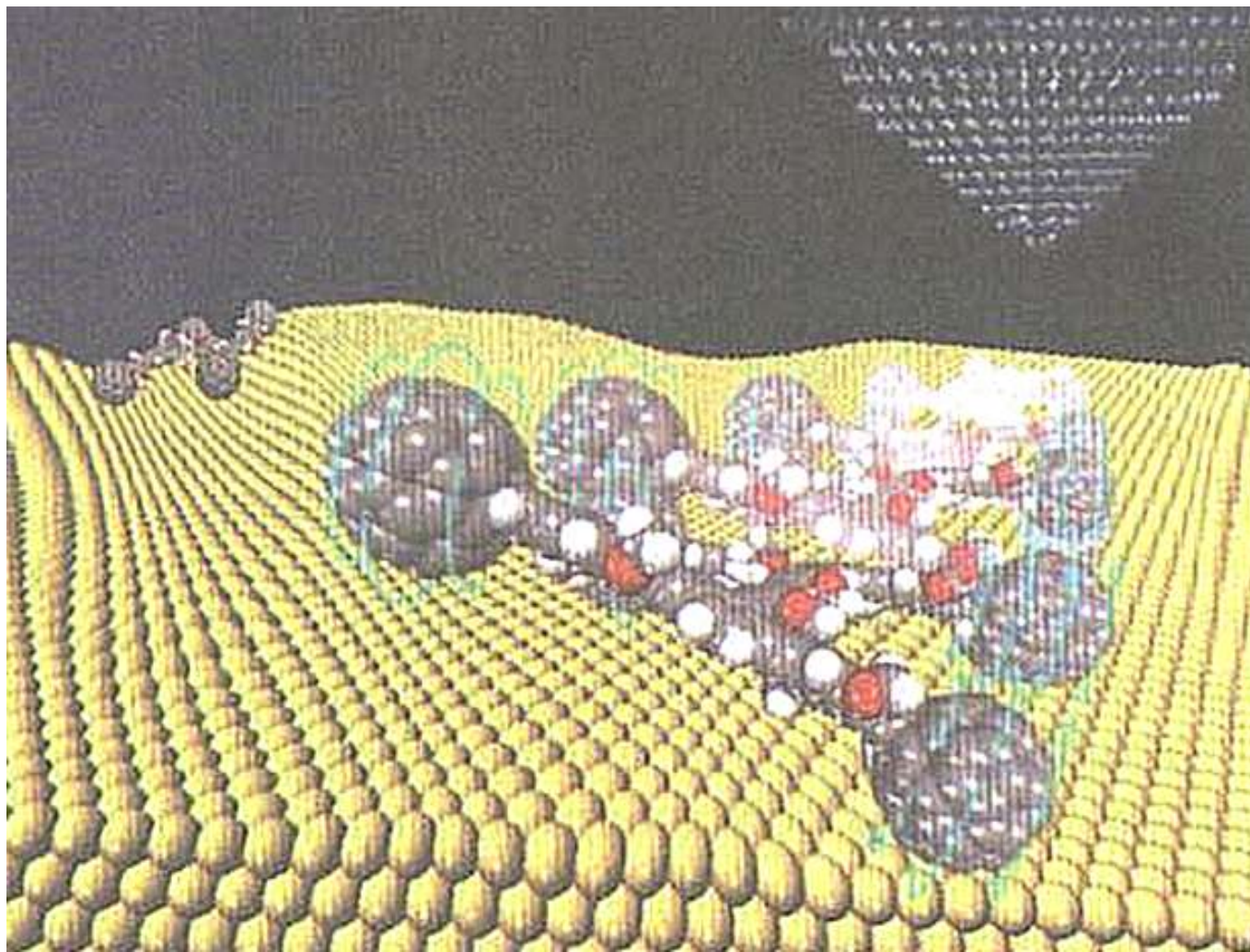


Рис. 4.9. Наномашина їздит на поверхності из золота

Кроковий актиuator

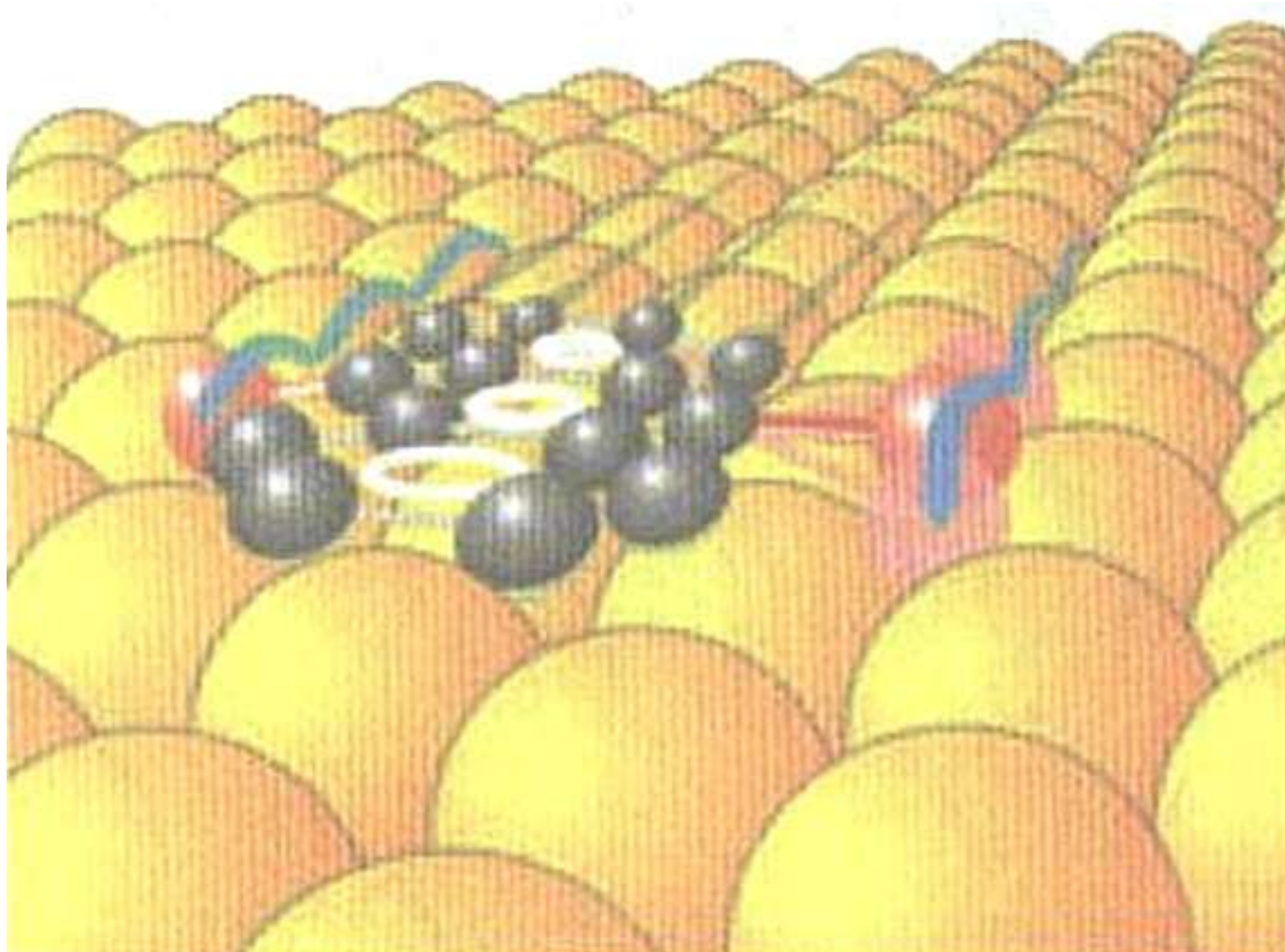


Рис. 4.24. Модель шагового
актиюатора на базе DTA

Невуглецеві нанотрубки

К числу неуглеродных нанотрубок, получивших широкое распространение, относятся нанотрубки составов В-С-N, С-N, В-N. Нанотрубки из нитрида бора BN подразделяются по форме на цилиндрические (спиралевидные, плавно изогнутые, в форме сростков по внешней поверхности, тройниковые); бамбукообразные (в виде последовательного сочетания цилиндрических нанотрубок переменного диаметра) и конические (в форме усеченных конусов, вставленных друг в друга).

Также широко распространены неуглеродные нанотрубки на основе халькогенидов MoS_2 , WS_2 , NbSe_2 , WSe_2 , MoTe_2 . Весьма перспективными в практическом отношении являются нанотрубки на основе дихлорида никеля NiCl_2 , имеющего слоистую структуру, особенностью которой является ферро – и антиферромагнитный типы спинового упорядочения внутри и между слоями соответственно, а также полупроводниковые нанотрубки на основе CuO , CuS , CdS , CdTe , ZnTe .

Особый интерес представляют многослойные полупроводниковые нанотрубки, в частности, двухслойные SiGe-нанотрубки, а также нанорулоны на основе InAs/GaAs и SiGe/Si.

На сьогодні все!
ДЯКУЮ ЗА УВАГУ!

Дисплей на основі вуглецевих трубок

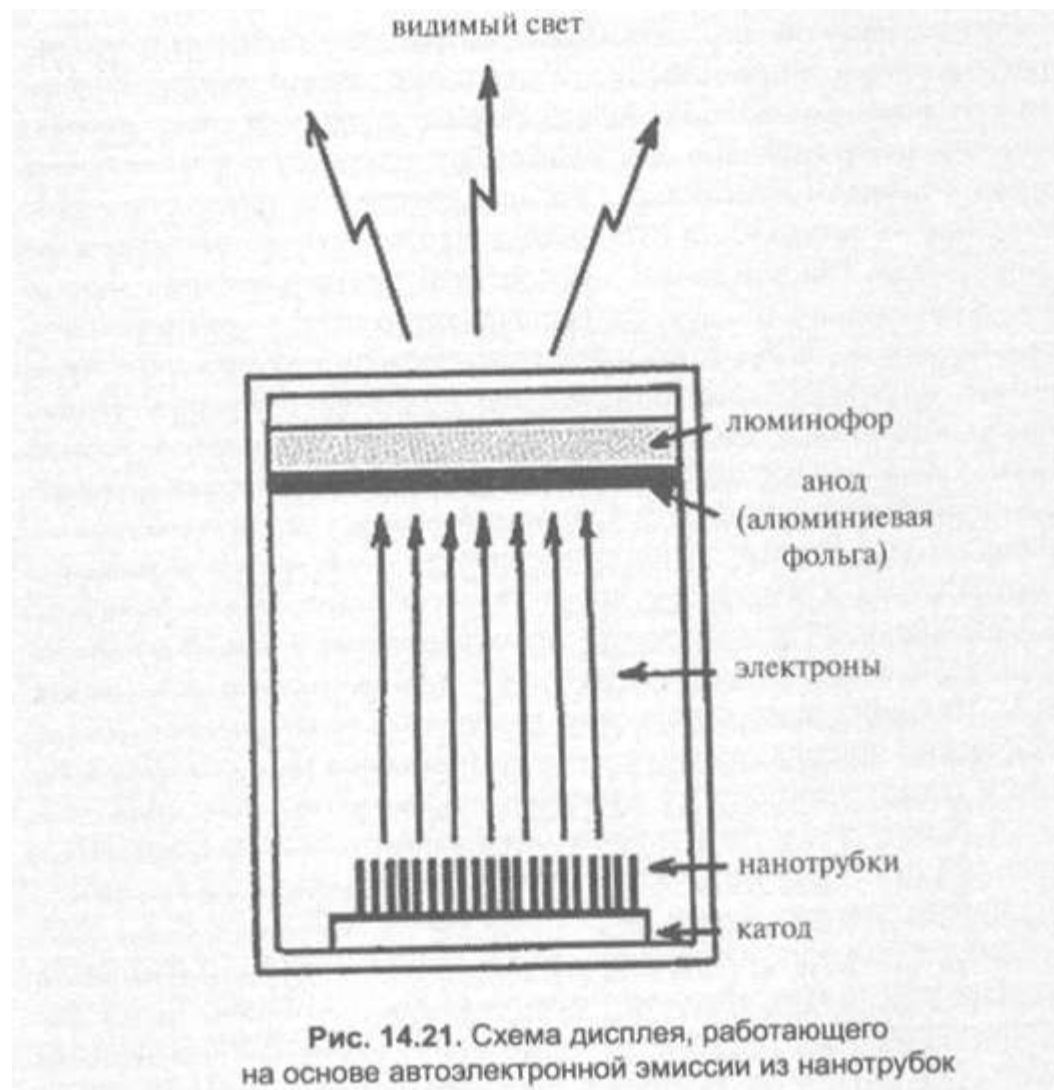


Рис. 14.21. Схема дисплея, работающего на основе автоэлектронной эмиссии из нанотрубок

Сенсори на основі нанотрубок

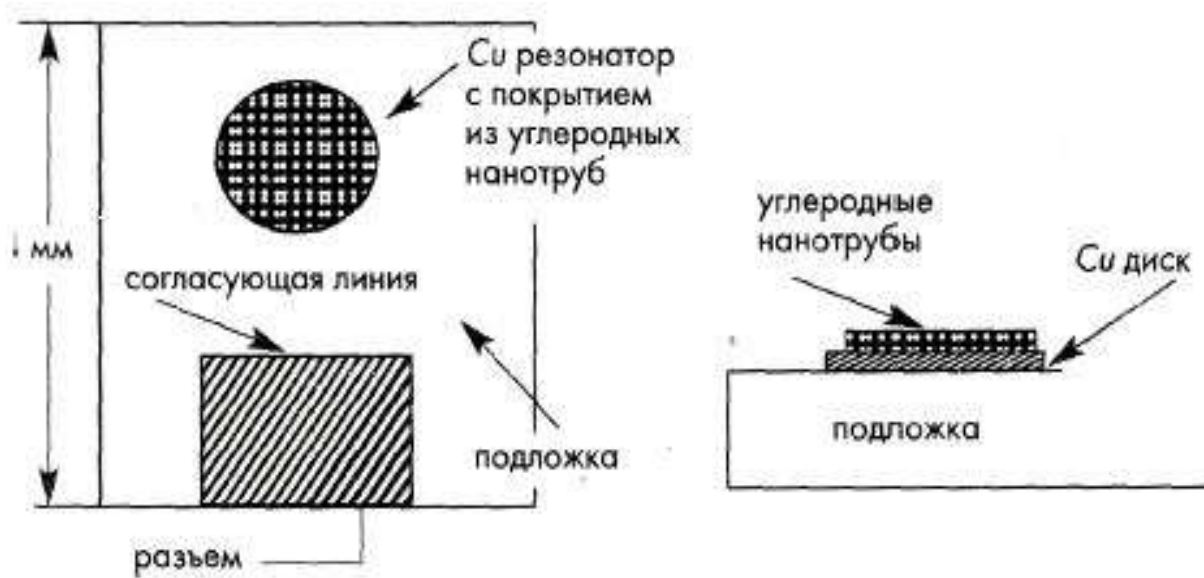
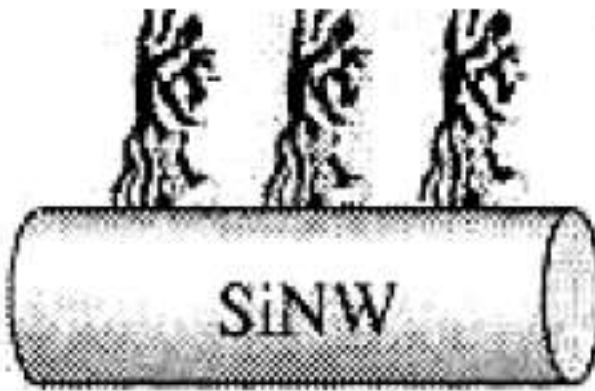
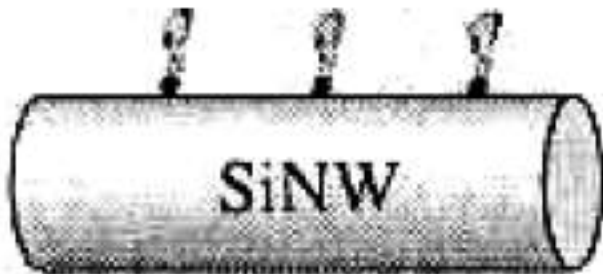


Рис. 5.49. Схема газового наносенсора, в котором адсорбция атомов газа на нанотрубках приводит к изменению частоты колебаний резонатора [6]

Квантові дротинки Si, вирощені методом лазерної аблляції, що використовуються в якості сенсорів



Заповнені нанотрубки

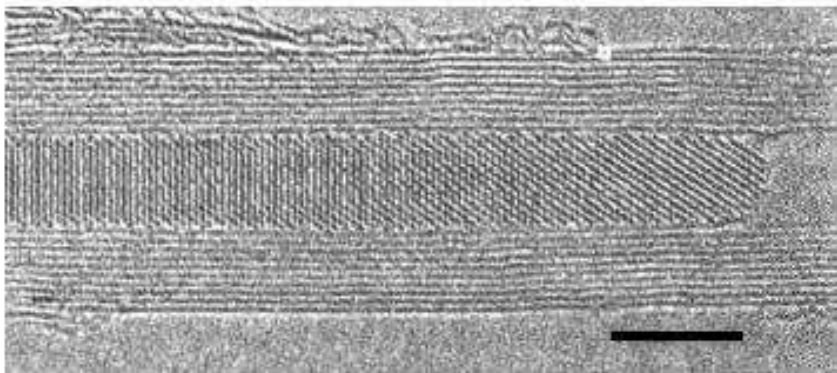


Рис. 5.54. Углеродная нанотрубка, заполненная оксидом самария Sm_2O_3 [6]
Масштабная метка 10 нм

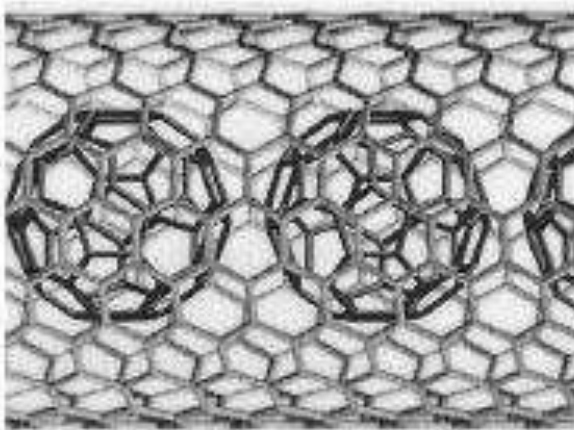


Рис. 5.57. Наноструктура, состоящая из углеродной нанотрубки и никапсулированного в нее фуллерена C_{60} [13]

Нанотрубки могут заполняться самыми разнообразными материалами, в том числе металлами (Rh, Pd, Pt, Mn, Co, Fe, Ni, Sc, La, V, Ce, Gd, Zr, Y, Ti и др.), а также их соединениями (рис. 5.54).

Нанотрубки могут быть использованы при изготовлении батареек на основе лития, который также можно помещать внутрь нанотрубок. К числу необычных примеров заполнения нанотрубок относится введение в них фуллеренов. В практическом отношении представляет интерес заполнение нанотрубок веществами биологической природы, в частности, лекарственными препаратами.

Нанотрубка заповнена надпровідником

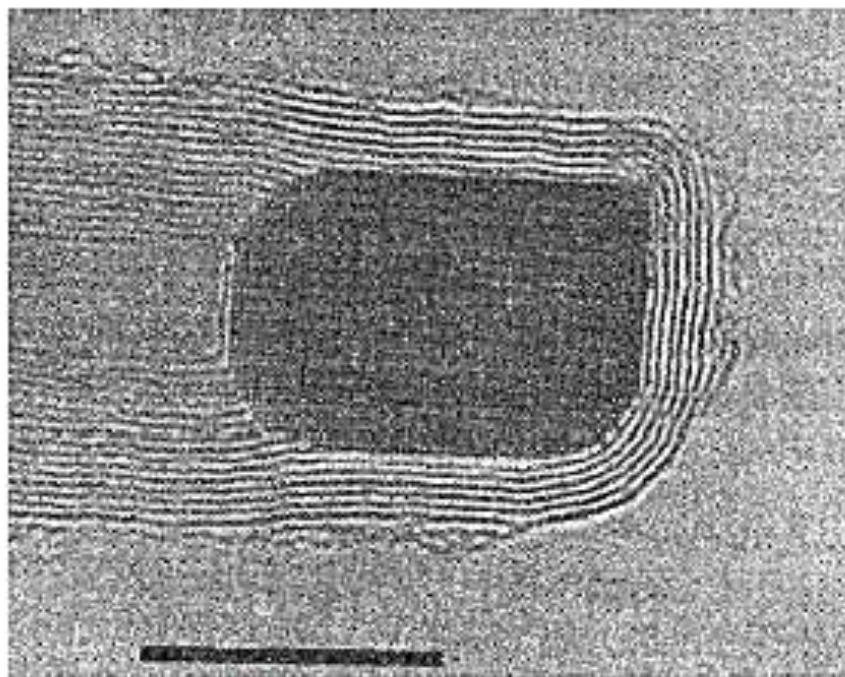


Рис. 5.55. Нанотрубное капсулирование
карбида тантала TaC
Масштабная шкала 10 нм

Схема електролітичної комірки для заповнення нанотрубок воднем

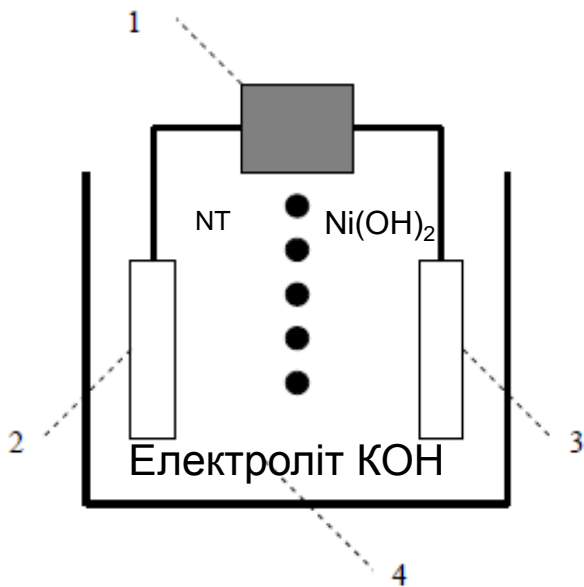


Рис. 5.56. Схема электрохимической ячейки
для заполнения углеродных нанотрубок
водородом

1 – источник питания, 2 – отрицательный
электрод, покрытый углеродными нанотрубками,
3 – положительный электрод, 4 – электролит
(водный раствор KOH)

Заповнені фулерени

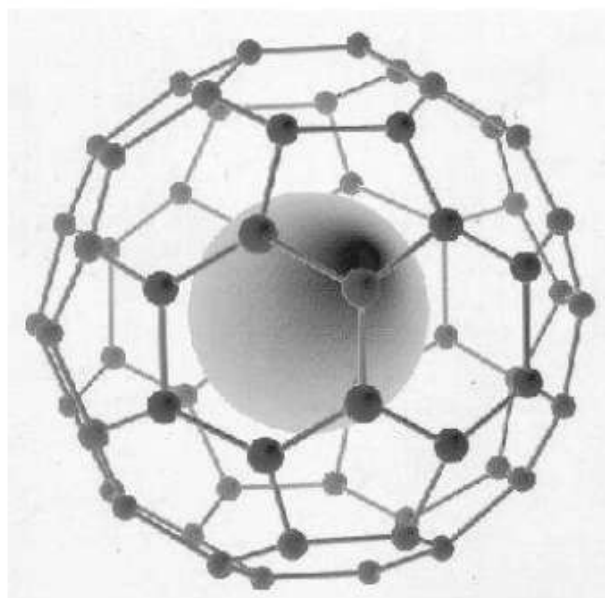


Рис. 5.9. Эндoэдralный комплекс
 $\text{La}@\text{C}_{60}$

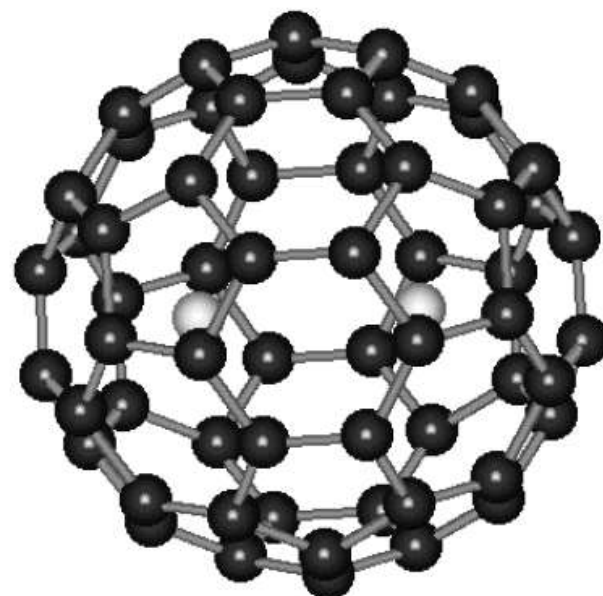


Рис. 5.10. Эндoэдralный комплекс
 $\text{Li}_2@\text{C}_{60}$

Легування фуллеренів

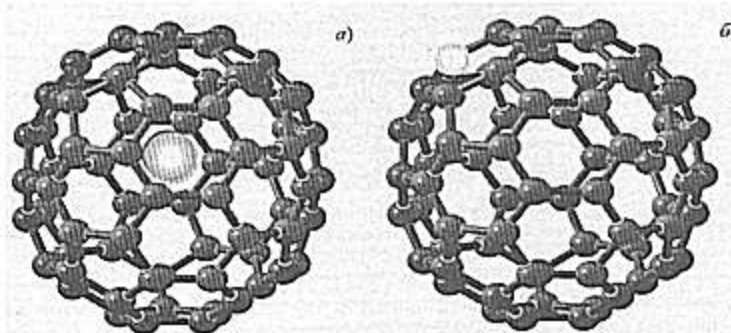


Рис. 15.2. Легування фуллеренов: (а) внутрінє (эндофуллерены),
(б) легування заміщенням

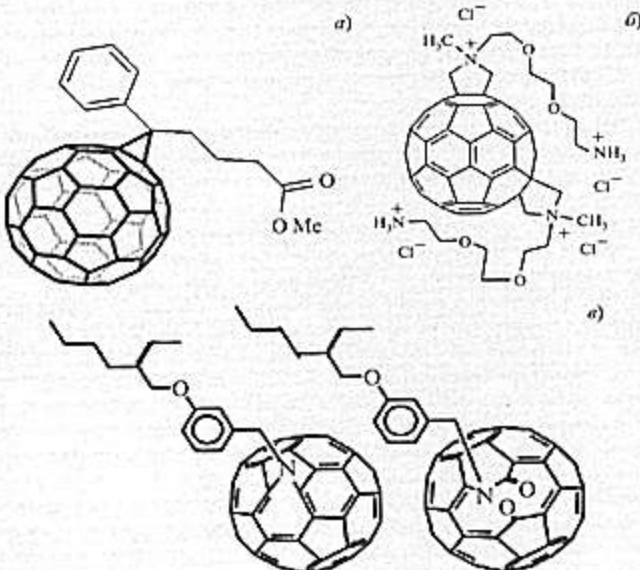


Рис. 15.3. Молекулярна структура производных C₆₀, которые используются в солнечных элементах: (а) метиловый эфир [6,6]-фенил-C₆₀-бутиловый кислоты (PCBM); (б) транс-3 C₆₀; (в) азофуллерон; (г) кетолактам

Наношприци

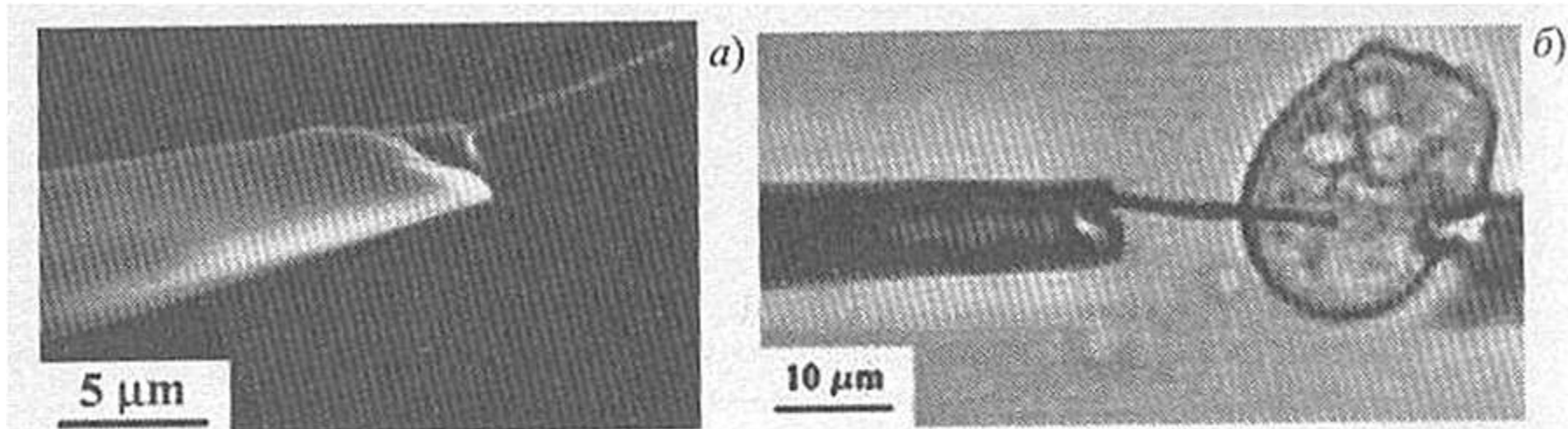


Рис. 14.22. (а) Пипетка с углеродной нанотрубкой на кончике. Соединение пипетки с трубкой герметично закреплено оптическим клеем. (б) Введение наношприца в клетку [115]